

VYSOKÁ ŠKOLA STROJNÍ A TEXTILNÍ
V LIBERCI
nositelka Řádu práce

Fakulta strojní

Obor : 31 - 12 - 8

TECHNOLOGIE TEXTILU A ODĚVNICTVÍ

Zaměření : Pletení

Katedra tkání a pletení

Název : TAHOVÁ DEFORMAČNÍ KŘIVKA TKANINY

Vypracoval : Josef Papp

Vedoucí práce : RNDr. Kavan

Konzultant : Ing. Kovář

Rozsah práce :

počet stran 59

počet tabulek 1

počet obrázků 29

počet příloh 9

Vysoká škola: strojní a textilní
Fakulta: textilní

Katedra: tkalcovství a pletářství
Školní rok: 1981/82

DIPLOMOVÝ ÚKOL

pro Josefa Pappa
obor 31-12-8 Technologie textilu a oděvnictví

Protože jste splnil..... požadavky učebního plánu, zadává Vám vedoucí katedry ve smyslu směrnic ministerstva školství a kultury o státních závěrečných zkouškách tento diplomový úkol:

TAHOVÁ DEFORMAČNÍ KŘIVKA TKANINY

Název tématu:

Pokyny pro vypracování:

- 1) Experimentálně určete tahově - deformační vlastnosti serie vzorků tkanin, které obdržíte v SVÚT Liberec.
- 2) Vyhodnoťte změny vnitřní struktury tkanin při jejich deformaci a to za pomoci fotogrammetrického určování vnitřní struktury textilních útvarů.
- 3) Prověďte rozbor vztahů mezi strukturou tkaniny a jejimi tahově - deformačními vlastnostmi.

VYSOKÁ ŠKOLA STROJNÍ A TEXTILNÍ
Ústřední knihovna
LIBEREC 1, STUDENTSKÁ 8
PSČ 461 17

Autorské právo se řídí směrnicemi
MSK pro státní záv. zkoušky č.j. 31
727/62/M/2 z dne 13. července
1962-Věstník MSK XVIII, sešit 24 ze
dne 31.8.1962 §19 aut. z č.115/53 Sb.

V148/82 T

Rozsah grafických práci: práci doplňte grafy, výsledky měření, konstr.
návrhy a pod.

Rozsah průvodní zprávy: 45 stran

Seznam odborné literatury: J. Jakubčo, DP (1981)

Vedoucí diplomové práce: RNDr. Pavel Kavan, SVÚT Liberec

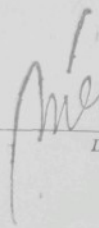
Konsultanti: Ing. Radko Kovář

Datum zadání diplomového úkolu: 15.9.1981

Termín odevzdání diplomové práce: 4.6.1982



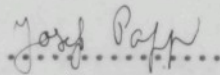

Vedoucí katedry


Dekan

Liberci 14.září 81
V dne 19

Místopřísežně prohlašuji, že jsem diplomovou práci vypracoval samostatně s použitím uvedené literatury.

V Liberci 4.6.1982


podpis

Děkuji RNDr. Kavanovi, Ing. Švehlové a Ing. Kovářovi za cenné rady a poskytnutou pomoc při vypracování diplomové práce.

V Liberci 4.6.1982

Josf Papp
podpis

OBSAH :

| | |
|--|----|
| Seznam použitych , značek a zkratek | 7 |
| ÚVOD | 8 |
| 1. TEORETICKÁ ČÁST | 10 |
| 1.1 Teorie vlivu struktury tkanin na tahové def.vlastnosti .. | 10 |
| 1.2 Výzkum struktury textilií | 13 |
| 1.2.1 Metody bez značení sledovaného elementu textilií | 14 |
| 1.2.1.1 Metoda orientovaných řezů | 14 |
| 1.2.1.2 Optická metoda náhradního řezu | 15 |
| 1.2.2 Metody se značením sledovaného elementu textilie | 16 |
| 1.2.2.1 Metoda fluorescenční | 16 |
| 1.2.2.2 Metoda rentgenografická a radiografická | 16 |
| 1.2.2.3 Metoda optického zprůhlednění vzorku | 17 |
| 1.2.3 Fotogrammetrické metody vyhodnocování vnitřní struktury textilií | 17 |
| 1.2.3.1 Normální případ fotogrammetrie | 18 |
| 1.2.3.2 Konvergentní případ průsekové fotogrammetrie | 20 |
| 2. EXPERIMENTÁLNÍ ČÁST | 22 |
| 2.1 Použité tkaniny, experimentální vzorky | 22 |
| 2.2 Experimentální podmínky a zařízení | 24 |
| 2.3 Metodika experimentu | 24 |
| 2.4 Experimentální výsledky | 26 |
| 2.5 Diskuse | 47 |
| 2.5.1 Přesnost experimentální metody | 47 |
| 2.5.2 Výklad vlivu vnitřní geometické struktury | 48 |
| na tahové deformační křivky tkanin | |
| 3. ZÁVĚRY | 56 |
| 4. LITERATURA | 58 |

Seznam použitých symbolů, značek a zkratek :

| | | |
|--|------------------------|---|
| D_o | /m ⁻¹ / | - hustota osnovy |
| D_u | /m ⁻¹ / | - hustota útku |
| S_o | / % / | - setkání osnovy |
| S_u | / % / | - setkání útku |
| ρ_s | /g m ⁻² / | - plošná hmotnost |
| T_{tex} | /tex/ | - jemnost namáhané soustavy nití |
| l | /m/ | - okamžitá délka vzorku |
| l_o | /m/ | - počáteční délka vzorku |
| ϵ | /1/ | - deformace |
| b | /m/ | - šířka tkaniny |
| α | /°/ | - úhel tahové deformace |
| σ | /N tex ⁻¹ / | - napětí v deformované soustavě |
| F_P | /N/ | - tahová síla |
| $\epsilon_{\alpha=45^\circ}^{koh.}$ | /1/ | - konečná deformace vzorku pod úhlem $\alpha = 45^\circ$ |
| $\epsilon_{\alpha=90^\circ}^{kon.}$ | /1/ | - konečná deformace vzorku ve směru útku |
| $\epsilon_{\alpha=0^\circ}^{kon.}$ | /1/ | - konečná deformace vzorku ve směru osnovy |
| $\epsilon_{příze}^{kon.}$ | /1/ | - konečná deformace zkoušené příze |
| $\sigma_{\alpha=45^\circ}$ | /N tex ⁻¹ / | - napětí zkoušeného vzorku pod úhlem $\alpha = 45^\circ$ |
| $\sigma_{\alpha=90^\circ}$ | /N tex ⁻¹ / | - napětí zkoušeného vzorku ve směru útku |
| $\sigma_{\alpha=0^\circ}$ | /N tex ⁻¹ / | - napětí zkoušeného vzorku ve směru osnovy |
| $\sigma_{příze}$ | /N tex ⁻¹ / | - napětí zkoušené příze |
| $\epsilon_{\alpha=0^\circ}^{extrapol.}$ | /1/ | - deformace vzorku ve směru osnovy po extrapolaci k nulovému napětí |
| $\epsilon_{\alpha=90^\circ}^{extrapol.}$ | /1/ | - deformace vzorku ve směru útku po extrapolaci k nulovému napětí |
| Q | /N/ | - reakční síla soustavy kolmá k soustavě namáhané |
| U | /J/ | - celková vnitřní energie tkaniny |
| F_x, F_y | /N/ | - tahové síly ve směru osy x a y |
| φ_o | /°/ | - úhel sklonu kamery |

ÚVOD

XVI. sjezd Komunistické strany Československa, který se konal v loňském roce ve dnech 6. - 9. dubna, stanovil pro léta sedmě pětiletky nové a náročnější úkoly. Náročnější o to, že je nutné dodržet generální linii výstavby rozvinuté socialistické společnosti i za podstatně obtížnějších vnějších a vnitřních podmínek. Je třeba udržet a zkvalitňovat dosaženou životní úroveň obyvatelstva i jeho sociální jistoty, a to v souladu s výsledky, kterých bude dosaženo v rozvoji národního hospodářství.

Splnění záměrů sedmého pětiletého plánu za složitých podmínek vyžaduje důsleďné prosazení výrazného růstu intenzifikace ekonomiky, zvýšení efektivnosti a kvality veškeré práce, efektivních strukturálních změn, především na základě urychlení a maximálního využití výsledků vědecko-technického rozvoje, prohlubování účasti ČSSR v mezinárodní socialistické dělbě práce, zejména se SSSR a zdokonalování plénovitého řízení při zvyšování účasti pracujících. [14]

Před resortem lehkého průmyslu, jehož součástí je i textilní výroba, stojí nemalé a náročné úkoly. Je nutné zvýšit výrobu asi o 15 %, při tom se soustředit na zvyšování kvality a technické úrovně výrobků, intenzivnější inovaci sortimentu a na obohacování vnitřního trhu novinkami a luxusními výrobky.

Stále náročnější úkoly, jež jsou před textilním průmyslem, není a nebude možné plnit bez cílevědomé aplikace vědy ve sféře výroby, která by vývoj nových typů textilií postavila na nových teoretických postupech.

Cílem této diplomové práce je prokázat a vysvětlit vliv vnitřní struktury tkaniny na její tahově deformační vlastnosti. Je prokázáno, že tahové vlastnosti jsou jedním z nejdůležitějších faktorů, které ovlivňují užitné vlastnosti, a tím i užitnou hodnotu textilie.

Současně však nejsou dosud dostatečně ujasněny vztahy mezi těmito vlastnostmi a vnitřní strukturou textilií. Jde tedy o problematiku značně rozsáhlou a dosud jen částečně prozkoumanou.

Cílem této diplomové práce je tedy modelování tahově deformačních vlastností tkanin. Ke studiu uvedeného problému se použilo takového přístupu, kdy tahově deformační křivky použitých nití a tkanin jsou považovány za dané a tahově deformační vlastnosti tkanin jsou modelovány na základě jejich vnitřní struktury a vlastností přízí.

Část I obsahuje dosud uvedené teoretické práce, které podávají přehlednou informaci o modelových přístupech používaných při studiu deformačních vlastností tkanin a ve kterých autoři navrhují určitý fyzikální model pro dané chování tkaniny.

Dále jsou v části I uvedeny experimentální metody výzkumu struktury textilií. Je zde posouzena jejich pracnost a popřípadě jejich vhodnost / nevhodnost / pro výzkum tkanin.

Část II řeší problematiku tahově deformačních vlastností na základě tahově deformačních křivek, které jsou výsledkem provedeného experimentu.

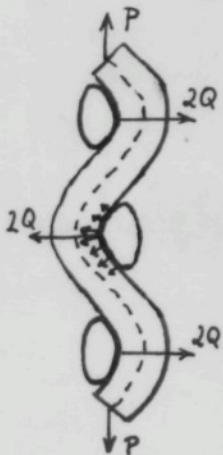
Část III jsou diskutovány výsledky a uvedeny závěry, které mohou sloužit při další analýze deformačních procesů tkanin, jakož i k dalšímu výzkumu fyzikálních přičin změny struktury při praktickém používání.

I. TEORETICKÁ ČÁST

1.1 Teorie vlivu struktury tkanin na tahové deformační vlastnosti

Náplní této kapitoly je podat informaci o současném stavu ve zkoumání deformačních vlastností a fyzikálních modelů tkanin. Tyto výzkumy nejsou zatím celosvětově rozšířeny a v ČSSR jsou teprve v počátcích, proto tato kapitola vychází z dosud publikovaných prací v zahraniční literatuře.

Za klasickou práci v této oblasti výzkumu je možno považovat práci [1]. Autor vychází z fyzikálního modelu tkaniny znázorněného na obr. 1.



Obr. 1

Působením vnější tahové síly P na tkaninu dochází v místech ohýbu napřímované příze k reakci na tento podnět - síla $2 Q$, kterou působí soustava kolmá ke směru namáhání na napínanou přízi. Tedy za určující je zde považováno vnější silové působení,

jehož výsledkem je konkrétní geometrie přízí a interakční síly mezi přízemí ve tkanině. Autor využívá této myšlenky a s využitím teorie pružnosti odvozuje tahovou křivku.

Navrhovaný model stačí jen pro vysvětlení tahově deformačního chování tkanin pro malé deformace.

Jiný principiálně odlišný přístup k problému tahově deformačních vlastností tkanin je založen na energetických metodách. Jejich princip spočívá na minimu celkové deformační energie tkaniny. Autor práce [2] provádí rozbor celkové deformační energie tkaniny metodou optimální kontroly za předpokladu dvourozměrnosti problému / nitě zůstávají při deformaci v jedné rovině /. Práce [3] modeluje tahově deformační chování tkanin s plátnovou vazbou při malém zatížení. Pro výpočet deformační energie je zde uvažováno stlačení, tažnost a ohybová tuhost příze.

Jako stěžejní práci v oblasti modelování tahově deformačních vlastností plošných textilií, založenou na principu minima deformační energie lze považovat práci [4]. V práci [5] je tato metoda rozpracována pro tkaniny, ale může být použita pro libovolnou strukturu plošné textilie.

Princip uvedené metody je možno ukázat na případě biaxiálního namáhání dvourozměrné textilie silami F_x a F_y / obr. 2 /. Geometrickou strukturu je možno popsat rovnicí tvaru

$$f(x,y) = 0 \quad /1/$$

Celková energie U systému je dána potenciální energií, která vznikla deformací systému silami F_x a F_y :

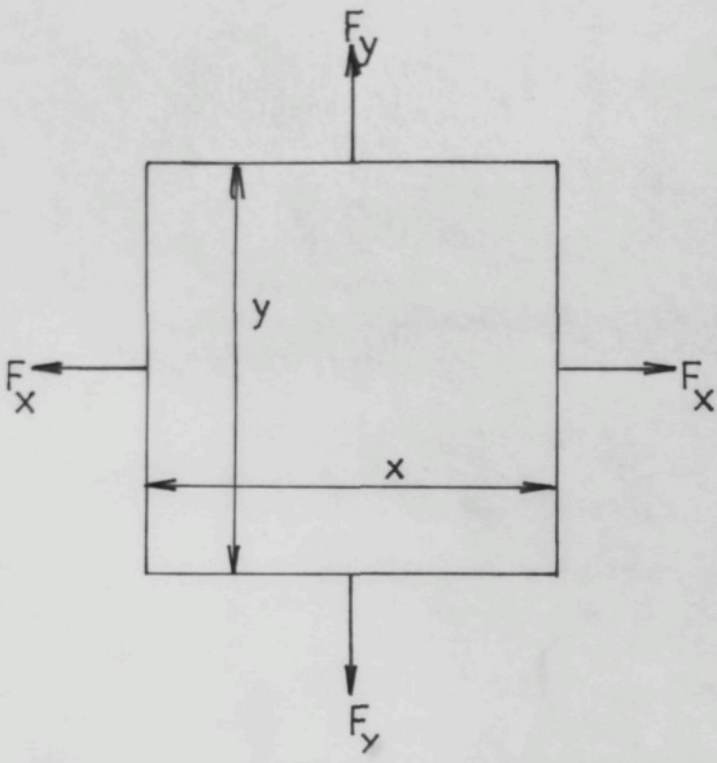
$$U = - F_x \cdot x - F_y \cdot y \quad /2/$$

Pro splnění principu minima energie musí platit

$$\frac{dU}{dx} = - F_x - F_y \frac{dy}{dx} = 0 \quad /3/$$

odkud

$$\frac{F_x}{y} = - \frac{dy}{dx} \quad /4/$$



Obr. 2

Ze vztahu /4/ je zřejmé, že k určení deformačního chování textilií stačí nalézt rovnici typu /1/, tj. konkrétní geometrií určený vztah mezi x a y a spočítat derivaci $\frac{dy}{dx}$.

Zkoumání tkanin z hlediska vnitřní struktury má stěžejní význam i pro ostatní druhy textilií, protože mají relativně jednoduché vnitřní uspořádání, proto by měly být experimenty s nimi prováděny nejdříve.

Dosud uvedené modely se však zatím pohybují v teoretické rovině a nejsou rozpracovány pro praktické použití. Další vývoj by měl tedy směřovat k rozpracování těchto metod, aby byly použitelné i v praxi.

1.2 Výzkum struktury textilií

Vnitřní uspořádání textilních útvarů je důležitým faktorem pro další výzkum užitných vlastností těchto textilií. V současnosti je v této oblasti používána celá řada experimentálních metod, jejichž využití závisí v první řadě na složitosti konstrukce, jak plošných textilních útvarů / pletenin, tkanin .../, tak délkových textilií /nití, vláken/.

V princi */6/* jsou tyto metody rozděleny podle značení sledovaného prvku textilie :

- 1/ komponenta neznačena
 - a/ metoda orientovaných řezů
 - b/ optická metoda náhradního řezu

- 2/ komponenta označena
 - a/ metoda fluorescenční
 - b/ metoda rentgenografická a radiografická
 - c/ metoda optického zprůhlédnění pozorovaného objektu

Pozorování a vyhodnocování objektu :

1. Mikroskopicky

hledané hodnoty odečteme přímo na okulárovém mikrometru nebo z obrazu objektu, který je výsledkem kresby, mikrofotografie ...

2. Makrograficky

kdy potřebné parametry odečteme

- a/ z negativu
 - překreslením promítнутého objektu
 - fotogrammetricky

- b/ z pozitivu
 - přímo
 - fotogrammetricky

Vzhledem k tomu, že tato práce se týká tkaných textilií, jsou dále tyto metody posouzeny z hlediska vhodnosti / nevhodnosti / jejich použití k výzkumu tkanin. Dále bude posouzena pracnost a náročnost experimentů a jejich vyhodnocování.

1.2.1 Metody bez značení sledovaného elementu textilie

1.2.1.1 Metoda orientovaných řezů

Tato metoda je v oblasti výzkumu textilních struktur nejznámější a nejpoužívanější. Obraz vnitřního uspořádání se získá z pozorování řezu textilie. Řez je vždy orientován rovnoběžně s osou sledované komponenty. Tímto způsobem se často zkoumá struktura tkaniny, protože zde jsou jednotlivé komponenty / osnovní nitě a útky / orientovány do roviny řezu. Metoda je zde proto hodně věrná, dostatečně přesná a přes pracnost poměrně rychlá.

Pracovní postup :

1. Zalévání preparátu - vzorek textilie je zalit do hmoty, která musí být čirá, při kontaktu s textilním materiélem nesmí tvořit bublinky. Při zpracování se vyžaduje snadná opracovatelnost / při řezání, brůšení a leštění /. Zalévací hmota by měla rychle tuhnout, nesmršťovat se, být rozměrově stabilní a trvanlivá a pro opracování by měla být stejně tvrdosti jako jsou vlákna textilního vzorku.

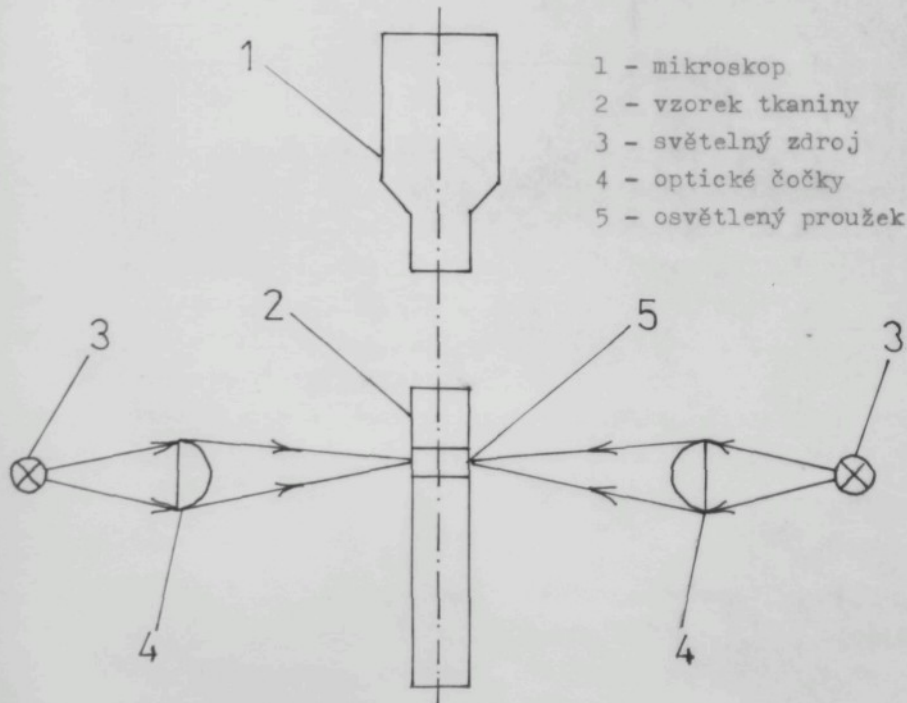
V současné době však není známa žádná látka, která by kompletně splňovala všechny podmínky, proto je používáno různých materiálů, jako jsou metylmetakryláty / nejčastěji / [13] kanadský balzám [8] , šelak [9] , smůla [10] atd.

2. Řezání - zalitého vzorku se provádí ručně nebo na speciálním zařízení [6]; jako nástrojů je využíváno žiletkových, ocelových nebo skleněných pilek. Je nutné, aby se touto činností nepoškodil zálitý blok.

3. Broušení a leštění - řezáním vzniknou na řezu rýhy a drobné nerovnosti, které je nutno odstranit, neboť znemožňují vlastní pozorování. Používá se postupně pilníku, hrubého smirkového papíru a k vyhlazování se používá jemných smirkových pláten. Leštění se provádí podle použitého zatěracího materiálu - za sucha /plsti/, - za mokra /např. roztok oxidu hlinitého/.
4. Mikroskopické pozorování - vzorek je osvětlen v temném poli a nejčastěji ofotografován. Získané snímky - negativy nebo pozitivy jsou dále vyhodnoceny.

1.2.1.2 Optická metoda náhradního řezu

J.P. Škunnikovov a V.D. Pjatnickij [11] vyvinuli tuto metodu pro vlněné a skleněné tkaniny. V principu je zde využito malé hloubky ostrosti mikroskopu a zvláštního způsobu osvitu vzorku.



obr. 3

Tkanina je umístěna v podélné optické ose obr. 3. Světelný proužek musí být v ohniskové vzdálenosti mikroskopu. Výsledkem jsou obrysy příčného řezu. Z důvodu malé hloubky ostrosti mikroskopu je možno toto zobrazení považovat za řez tkaniny podél nitě [6].

Výsledek lze ofotografovat nebo narýsovat. Odečtení parametrů řezu se provádí přímo na mikroskopu okulárovým mikrometrem.

Metoda má bezesporu své výhody - vzorek se nemusí zalévat, není ovlivněn zalévacím médiem, celkově je rychlejší než metoda orientovaných řezů.

Malá hloubka ostrosti a zakrytí zkoumané nitě způsobuje neostrost tvaru zatkané nitě.

1.2.2 Metody se značením sledovaného elementu textilie

1.2.2.1 Metoda fluorescenční

Základem je ozařování pozorovaného objektu krátkovlnným zářením, které se tím mění na dlouhovlnné záření. Textilní útvary nejsou fluorescenční, proto se na jejich povrch nanáší speciální barviva tzv. fluorchromy. Tchoto principu je využíváno při výzkumu vlněných vláken / napadení vlákna bakteriemi /, ale pro tkaniny ani jiné textilní útvary nelze předpokládat využití pro zkoumání vnitřní struktury, protože neproniká pod povrch textilie.

1.2.2.2 Metoda rentgenografická a radiografická

Využívá schopnosti Roentgenových paprsků průchodu hmotou při tzv. nepřímé mikro rentgenografii. Její výhodou je schopnost zobrazení jakékoli prostorové křivky. Problematika je však v její složitosti a nedostatečném zachycení výrazných obrysů sledované komponenty textilie. Také pokovení pravděpodobně změní mechanicko-fyzikální vlastnosti nitě a tím se může změnit i její poloha v

tkanině oproti ostatním nitím. Tedy přesnost této metody není vysoká.

1.2.2.3 Metoda optického zprůhlednění vzorku

Tato metoda je založena na shodě indexů lomu textilního materiálu a kapaliny, do které je vzorek ponořen. Je-li v textilii barevně odlišná nit, bude jen tato viditelná z celého opticky zprůhledněného vzorku.

Autor práce [6] tento postup prakticky ověřil s velmi dobrým výsledkem a doporučil ho pro pozorování prostorové polohy osy nitě v textilii.

Při použití této metody se jeví jako nevýhodně počáteční barevné odlišení nitě, která také může mít odlišné fyzikální mechanické vlastnosti.

Přírodní materiály se těžko zprůhledňují a pro směsové textilie se těžko hledá index lomu. Konečně kapaliny použité při zprůhlednování jsou těkavé organické sloučeniny, z nichž některé jsou jedovaté, je proto nutné dodržovat bezpečnostní předpisy.

Výhodné pro tento postup je snadné pozorování a fotografování. Křivku osy nitě lze prostorově vyhodnotit. Metoda nevyžaduje žádné speciální vybavení, je ji tedy možno aplikovat v každé průměrně vybavené laboratoři.

1.2.3 Fotogrammetrické metody vyhodnocování vnitřní struktury textilií

Ze všech experimentálních metod může být výsledkem fotografický snímek. Vyhodnocování z fotografie je velmi výhodné. Je přesné, rychlé. Snímek lze libovolně zvětšovat, promítat i vyhodnotit na počítači.

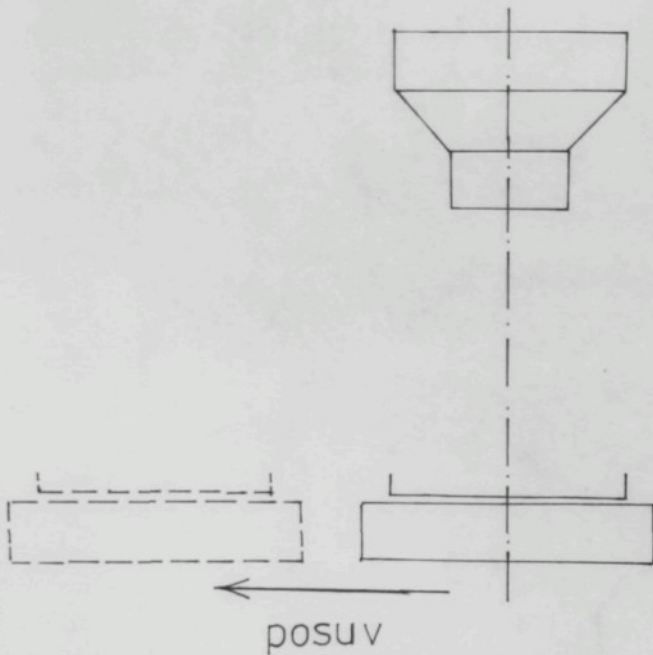
Fotogrammetrické metody donedávna dominovaly v geodetickém výzkumu. Postupně byly rozpracovány pro účely geologie a jiných technických oborů. V poslední době jsou používány i ve výzkumu textilií. O aplikaci této metody na textilní výrobky se zasloužil Ing. Dušek v práci [6]. Autor zde rozpracoval metody velmi blízké fotogrammetrie / zkoumá objekty, jejichž rozměry jsou řádově v centimetrech /, a to pro případ :

- a/ normální stereo fotogrammetrie
- b/ konvergentní průsekové fotogrammetrie

Základní úlohou fotogrammetrie / obecně / je z minimálně dvou snímků objektu určit jeho tvar, velikost i polohou v prostoru.

1.2.3.1 Normální případ stereofotogrammetrie

V běžné praxi je využíváno pro zhotovení stereoskopických dvojic snímků dvou kamer, které jsou od sebe vzdáleni o určitou rozteč, aby bylo zajištěno požadované překrytí. Vzhledem k tomu, že plošná textilie je velmi malých rozměrů / 5x5mm / a je nutno ji fotografovat z malé vzdálenosti, nelze tento způsob využít. Z tohoto důvodu autor [6] použil jednu kameru na speciálním podstavci umožňujícím posuv objektu / obr.4 /. Tím je zajištěno požadované překrytí a výsledkem jsou stereoskopické dvojice snímků, které se vyhodnocují na stereoskopických vyhodnocovacích přístrojích.



Obr. 4

Autor [6] tuto metodu doporučuje pro výzkum textilních struktur zvláště pak :

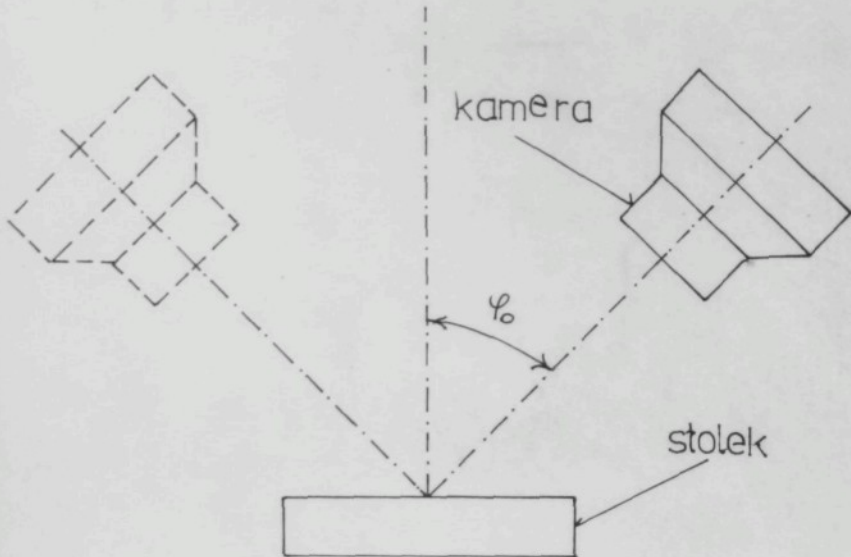
- a/ při trojrozměrném kvantitativním vyhodnocování povrchů textilií, při analýze tahových deformací a j.
- b/ při rekonstrukci vnitřního uspořádání plošných textilií tam, kde se jedná o prostorové určení polohy

Na základě provedených rozborů je autor [6] přesvědčen o použitelnosti metody pro popis vnitřního uspořádání niťových struktur, vysokou přesností / $\pm 0,05\text{mm}$ / při monokulárním vyhodnocení polohy osy nitě na jednom snímku. Autor také

doporučuje použít kvalitnější objektiv fotokamery, aby vlivem distorze nedocházelo k nesymetrickému zkreslení.

1.2.3.2 Konvergentní případ průsekové fotogrammetrie

Předcházející případ fotogrammetrie má určité riziko v přesnosti vyhodnocení snímků, které je způsobeno distorzí objektivu fotoaparátu. Proto autor [6] navrhuje systém, který umožnuje fotografovat objekt určitým úhlem zleva a zprava.



Obr. 5

Preparát na stolku je ve vodorovné poloze a kamera je k němu orientována pod úhlem konstantním φ_0 / obr. 5 /.
Dvě fotografie získáme otočením stolku, s preparátem o 180° .

Vyhodnocení snímků vyžaduje přesné odečtení souřadnic, a to :

a/ strojním odměřením, využitím některého vyhodnocovacího přístroje z negativu

b/ ze zvětšeného pozitivu - ručně / pravítkem / ,
- mechanicky / digitalizační zařízení
samočinného počítače /

Vyhodnocení navrhuje Ing. Dušek [6] zjednodušenou výpočetní metodou nebo analytickou metodou na počítači, kde jsou tyto metody také popsány. Ing. Dušek doporučuje tuto metodu zejména pro ty struktury textilních útváří, které dříve nebylo možno zkoumat tradičními optickými metodami pro jejich složitost prostorové křivky nití.

2. EXPERIMENTÁLNÍ ČÁST

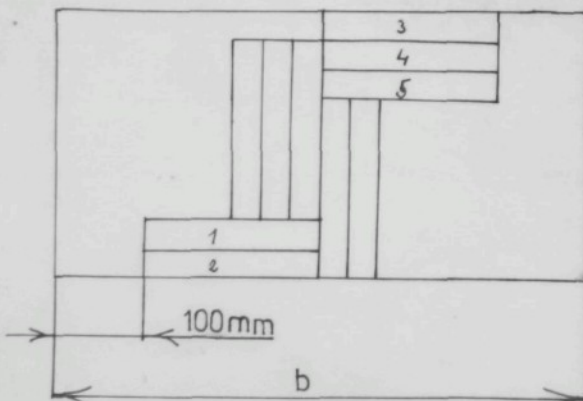
2.1 Použité tkaniny, experimentální vzorky

Pro účely experimentálního výzkumu jednoosých tahově deformačních vlastností tkaniny byly připraveny vzorky na tahovou zkoušku podle normy ČSN 80 0812 [12]. Vzorky byly připraveny z režných tkanin / GLORYMA a MADAPOLAM / a z tkanin získaných upravěním, zušlechtěním předcházejících režných druhů / GLORY a MABEL/.

Nejdůležitější technologické a strukturální parametry použitých tkanin jsou uvedeny v tabulce 1.

Ve všech uvedených tkaninách byla při výrobě použita v osnově útku bavlněná mykaná příze jemnosti 20 tex. Příze byla vyrobena ze sovětské bavlny sorty I. A, k jejímuž dopřádání se použil stroj BD-200.

Jak již bylo uvedeno, zkušební vzorky byly odebrány podle normy ČSN 80 0812.



Obr. 6

Tato norma stanovuje postup při odběru vzorků u zkušebního odstřihu následovně :

- ze zkušebního odstřihu se odstříhnou proužky o rozměru 300x60 mm podle obr. 6 ve vzdálenosti 100 mm od kraje tkaniny
- na zkušební rozměr 300x50 mm jsou vzorky upraveny odpálením krajových nití

Z každé tkaniny se odebralo celkem 30 obdélníkových vzorků předepsaných rozměrů s výjimkou druhu MADAPOLAM, který byl k dispozici v omezeném množství, a proto zde bylo připraveno 30 vzorků o rozměrech 200x500 mm.

Z celkového počtu 30 vzorků bylo pro účely práce připraveno 10 vzorků s delší stranou rovnoběžnou se směrem osnovy $\alpha = 0^\circ$ /, 10 vzorků s delší stranou ve směru $\alpha = 45^\circ$ a 10 vzorků s delší stranou rovnoběžnou se směrem útku $\alpha = 90^\circ$ /. Celkem bylo deformováno 120 vzorků.

Vzorky ve směru $\alpha = 45^\circ$ byly vystříženy podle šablony již ve stanoveném rozměru.

Tkaniny použité pro experiment mají tažnost menší než 150 %, proto je podle ČSN zkušební rozměr 200x50 mm / u tkaniny MADAPOLAM - 100 mm /.

Dále byly připraveny vzorky pro experimentální výzkum struktury tkanin. Vzhledem k tomu, že experimentální zařízení pro fotogrammetrické určování trajektorií přízí v tkaninách, nebylo v době vypracování diplomové práce v SVÚT Liberec k dispozici, byla vnitřní struktura použitých vzorků zjištována metodou orientovaných řezů dle 7 :

- tkanina preparovaná polyvinylautálovou emulzí / zachována pružnost vzorku /, byla následovně zalita do vosku / směs parafínu a včelího vosku /
- ze vzorku, který má přibližný tvar hranolku byly získány jednotlivé řezy o síle 25 mm na přesném řezacím zařízení MIKROTON

- jednotlivé řezy jsou na podložné destičce zakapány xylenem a vyhodnoceny na mikroskopu NU-2 firmy Karl Zeiss Jena, který je vybaven fotoaparátem s objektivem zvětšujícím podle použitého vzorku 10 - 250 krát.

Na obrázcích číslo 1 - 8 v příloze jsou příklady řezů jednotlivými výchozími vzorky tkanin / před tahovou deformací /.

2.2 Experimentální podmínky a zařízení

Experimenty byly prováděny při teplotě 293 K / 20°C / a relativní vlhkosti 60 %. Ke zkoušení tahových deformací byl použit univerzální trhací stroj anglické firmy Instron. Vzorky tkanin byly deformovány tahem až do úplné destrukce textilie. Rychlosť deformace je určena rychlosťí posuvu příčníku, která byla $8,33 - 10^{-4} [\text{m s}^{-1}]$ / tj. 5 cm/min /. Vzorky tkaniny MADAPOLAM vzhledem k polovičnímu rozměru zkušebního vzorku byly deformovány rychlosťí $5,00 - 10^{-4} [\text{m s}^{-1}]$ / tj. 3 cm min⁻¹/.

Na trhacím stroji Instron byly také trhány režné bavlněné příze, ze kterých jsou zkušební tkaniny vyrobeny. Celkem byla zjištována tahová křivka z 50 pokusů, přidpínací délce 400 mm a rychlosťí posuvu příčníku $1,67 - 10^{-3} [\text{m s}^{-1}]$ / tj. 10 cm/min/.

Průběh deformační síly v závislosti na čase byl zaznamenáván graficky a na děrnou pásku, která byla použita jako vstupní médium pro stolní počítač HP 9810 A a součadnicový zapisovač PLOTTER, kterým byly znázorněny tahové křivky tkanin.

2.3 Metodika experimentu

Na stolním počítači Helvet Pachard byly přepočítány experimentálně získané závislosti F - t / síla - čas / podle vztahů

/5/ - /7/ na tahové křivky, tj.

na závislosti $G^{\sim} - \varepsilon$ / napětí - deformace / :

$$G^{\sim} = -\frac{F}{T_{tex}} \quad \left[-\frac{N}{tex} \right] \quad /5/$$

kde pro jemnost T_{tex} vzorků platí :

$$T_{tex} = S \cdot \rho_s = 50 \quad s \quad /6/$$

S_s - plošná hmotnost tkanin $[kg/m^2]$

$S = 5 \cdot 10^{-2} m \times 10^3 m = 50 m^2$ - plocha obdélníkového vzorku o rozměrech 0,05 m a 1 000 m

Deformace je děna vztahem :

$$\varepsilon = \frac{l - l_0}{l_0} \quad /7/$$

kde l_0 je počáteční délka vzorku a l okamžitá délka vzorku

Jednotlivé hodnoty T_{tex} a ρ_s jsou uvedeny v tabulce I.

| tkanina | D_0 [m^{-1}] | D_u [m^{-1}] | S_0 [%] | S_u [%] | ρ_s [kg/m^2] | Tex [tex] |
|-----------|-----------------------|-----------------------|--------------|--------------|--------------------------|--------------|
| GLORIMA | 2 748 | 2 520 | 5,2 | 6,0 | 111,5 | 5 575 |
| GLORY | 2 990 | 2 420 | - | - | 107,2 | 5 360 |
| MADAPOLAM | 2 780 | 2 952 | 6,6 | 6,7 | 126,2 | 6 310 |
| MABEL | 3 004 | 2 812 | - | - | 121,0 | 6 050 |

Výpočetní program byl upraveno takovým způsobem, že nebylo uvažováno žádné předpětí na vzorcích tkanin. Proto tahově deformační křivky $G^{\sim} - \varepsilon$ / začínají nulovým napětím a zachycují také počáteční průběh deformace vzorků.

Pro každých 10 vzorků tkaniny jednoho druhu v tomtéž deformačním směru byla vypočtena průměrná tahová křivka.

Průměrná tahová křivka bavlněných přízí byla spočtena z 50 dílčích měření téže příze.

2.4 Experimentální výsledky

Výsledkem experimentu jsou průměrné tahové křivky :

a/ tkanin v souřadnicích $F - \varepsilon$ / síla - prodloužení / i jsou uvedeny na obrázcích č. 7 - 18

b/ přízi obr. č. 19

Na obrázcích je také znázorněn rozptyl vypočítaných hodnot kolem tahových křivek / značky + / a průměrné hodnoty pevnosti a tažnosti / pomocí kříže + , jehož střed určuje pevnost a tažnost a ramena kříže ukazují na velikost odchylky od určené pevnosti a tažnosti / .

Na obrázcích č. 20 - 23 jsou znázorněny průměrné tahové křivky již v souřadnicích $\sigma - \varepsilon$ / napětí - poměrné prodloužení /. Každý obrázek obsahuje tahové křivky vždy téže tkaniny ve směrech namáhání $\alpha = 0^\circ$, $\alpha = 45^\circ$, $\alpha = 90^\circ$ a tahovou křivku použitých přízí. Z uvedených obrázků vyplývá, že / s výjimkou tkaniny MADAPOLAM / splňuje napětí na tahových křivkách pro určitou danou deformaci vztah¹ /

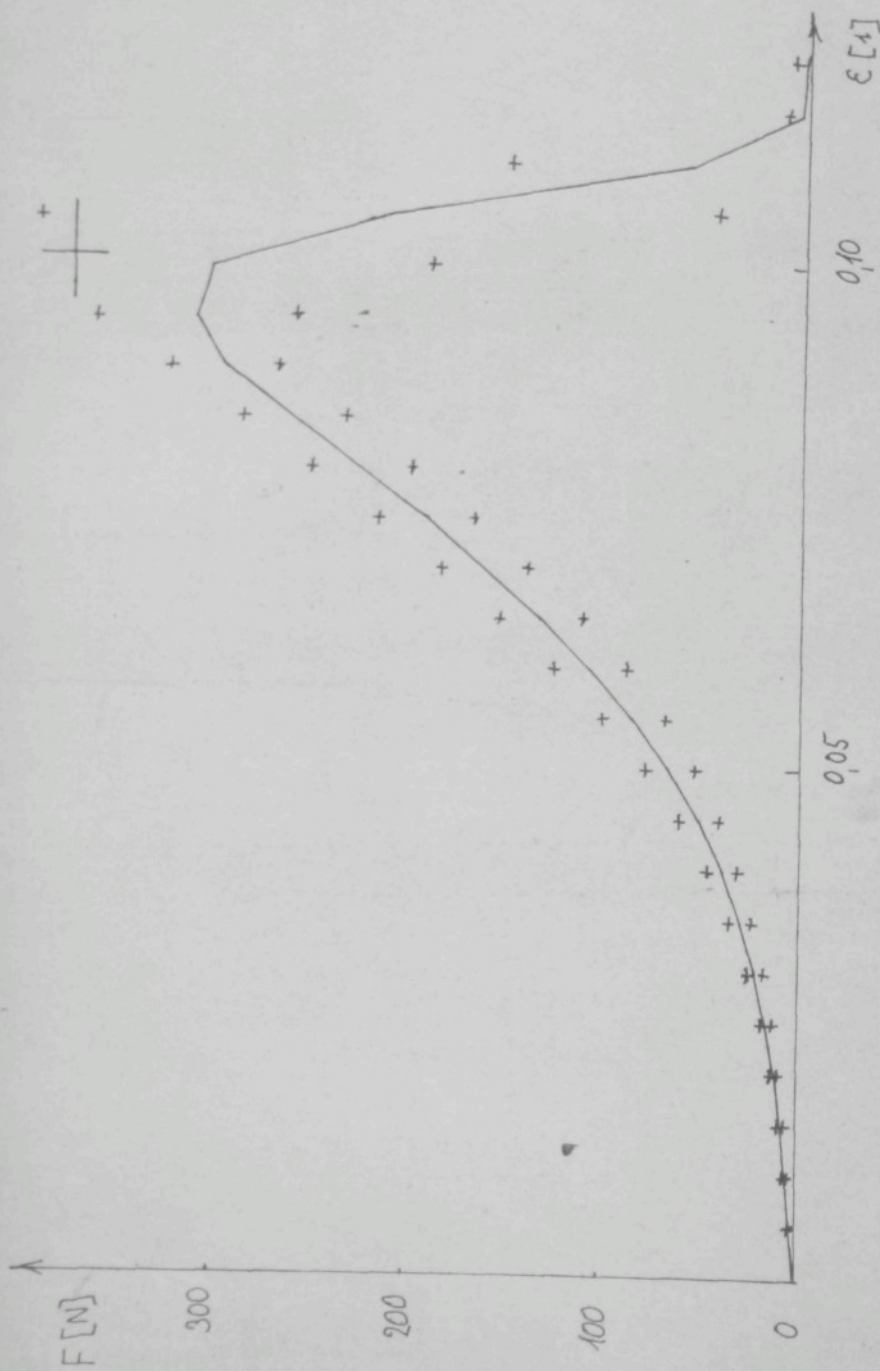
$$\tilde{\sigma}_{\alpha=45^\circ} < \tilde{\sigma}_{\alpha=90^\circ} < \tilde{\sigma}_{\alpha=0^\circ} < \tilde{\sigma}_{\text{příze}} \quad (8)$$

Konečná deformace vzorků / takové deformace, kterým přísluší maximální hodnota napětí na dané tahové křivce / v jednotlivých deformačních směrech s výjimkou tkaniny MADAPOLAM splňuje nerovnost² /

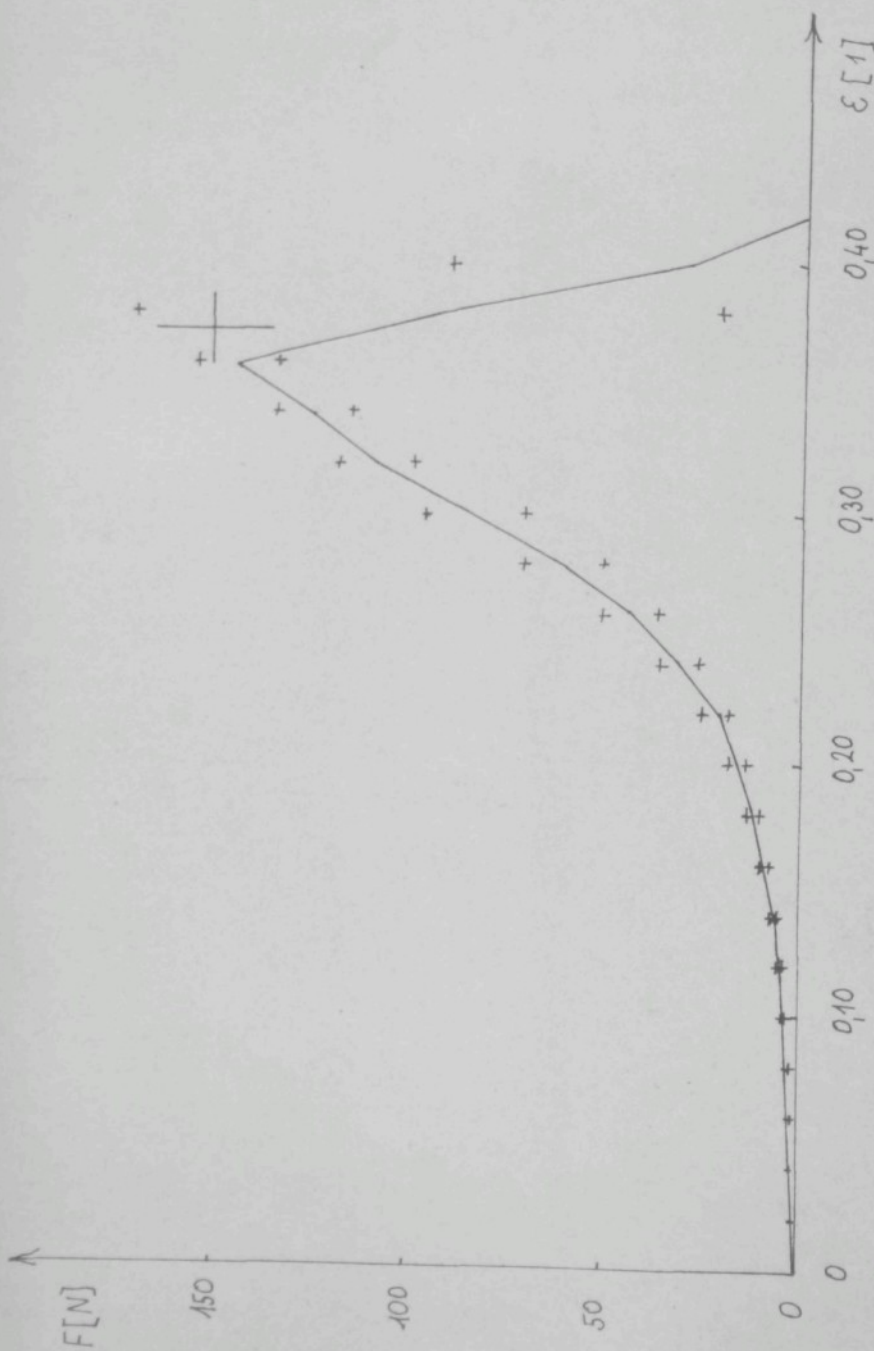
$$\varepsilon_{\alpha=45^\circ}^{\text{kon.}} > \varepsilon_{\alpha=90^\circ}^{\text{kon.}} > \varepsilon_{\alpha=0^\circ}^{\text{kon.}} > \varepsilon_{\text{příze}}^{\text{kon.}} \quad (9)$$

1, Poznámka : Pro napětí tkaniny MADAPOLAM platí :

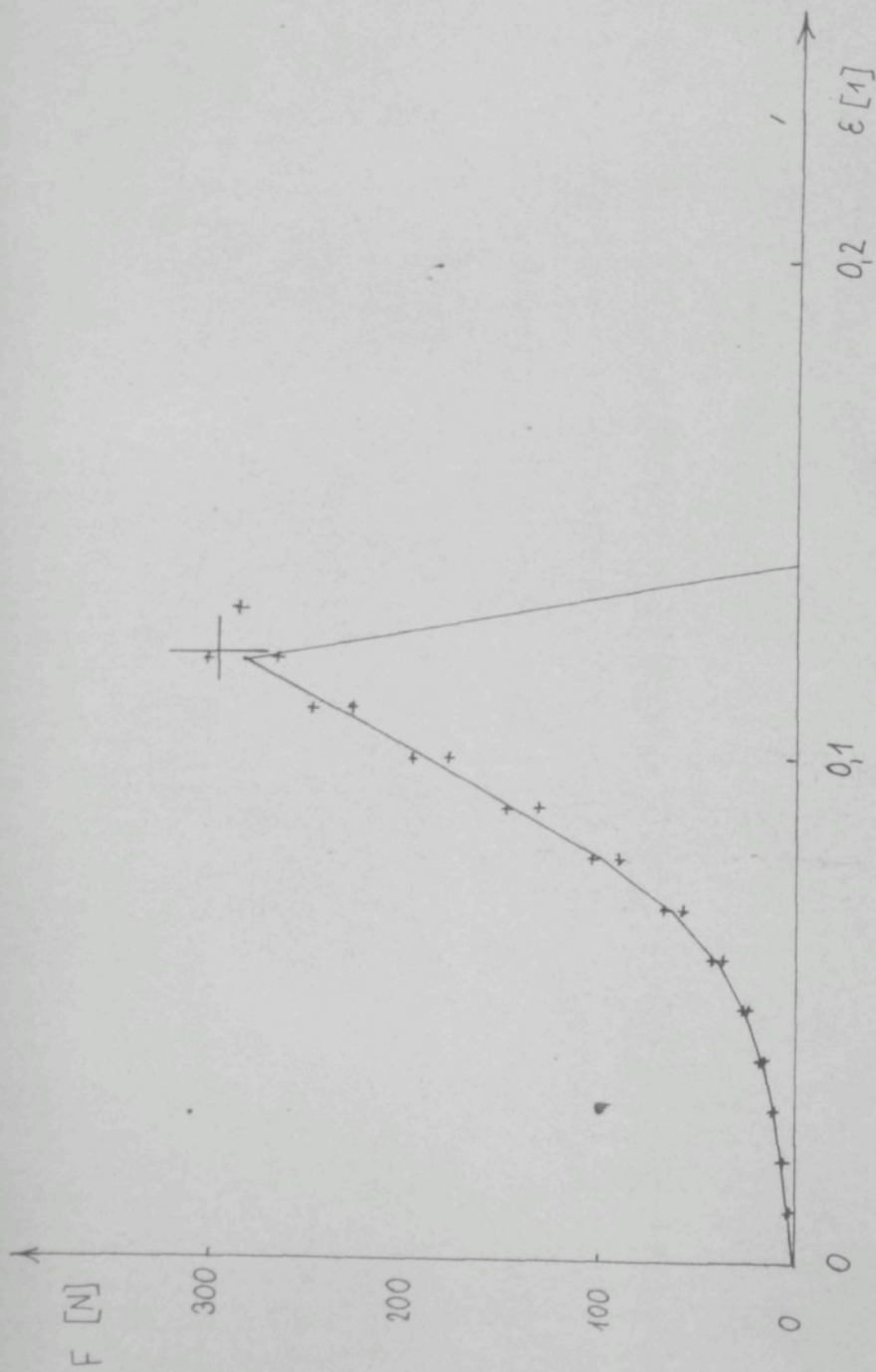
$$\tilde{\sigma}_{\alpha=45^\circ} < \tilde{\sigma}_{\alpha=0^\circ} < \tilde{\sigma}_{\alpha=90^\circ} < \tilde{\sigma}_{\text{příze}} \quad (10)$$



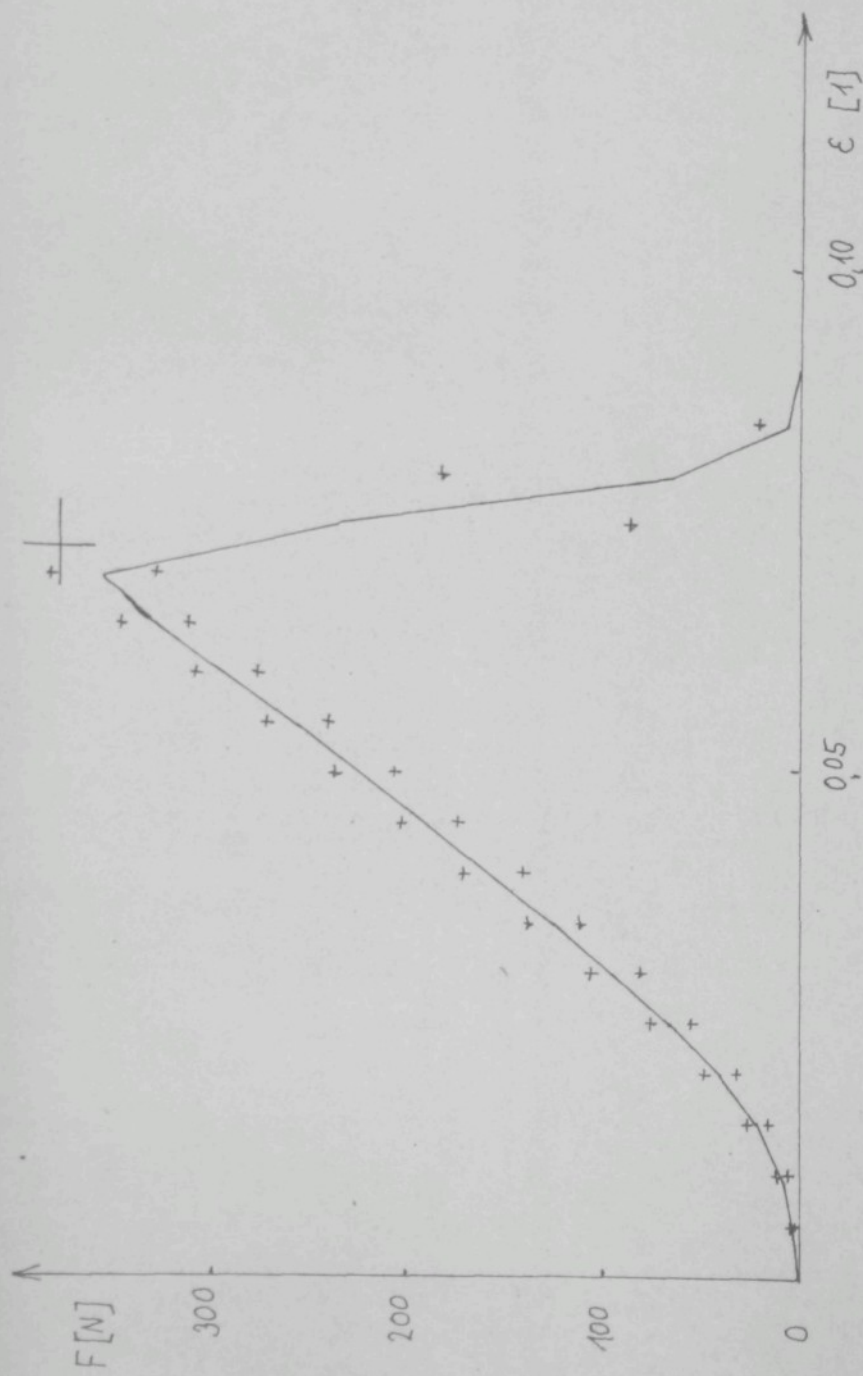
Obr. č. 7 Průměrná tahová křivka výzkumného vzorku tkaniny GLORIA ve směru $\alpha = 0^\circ$



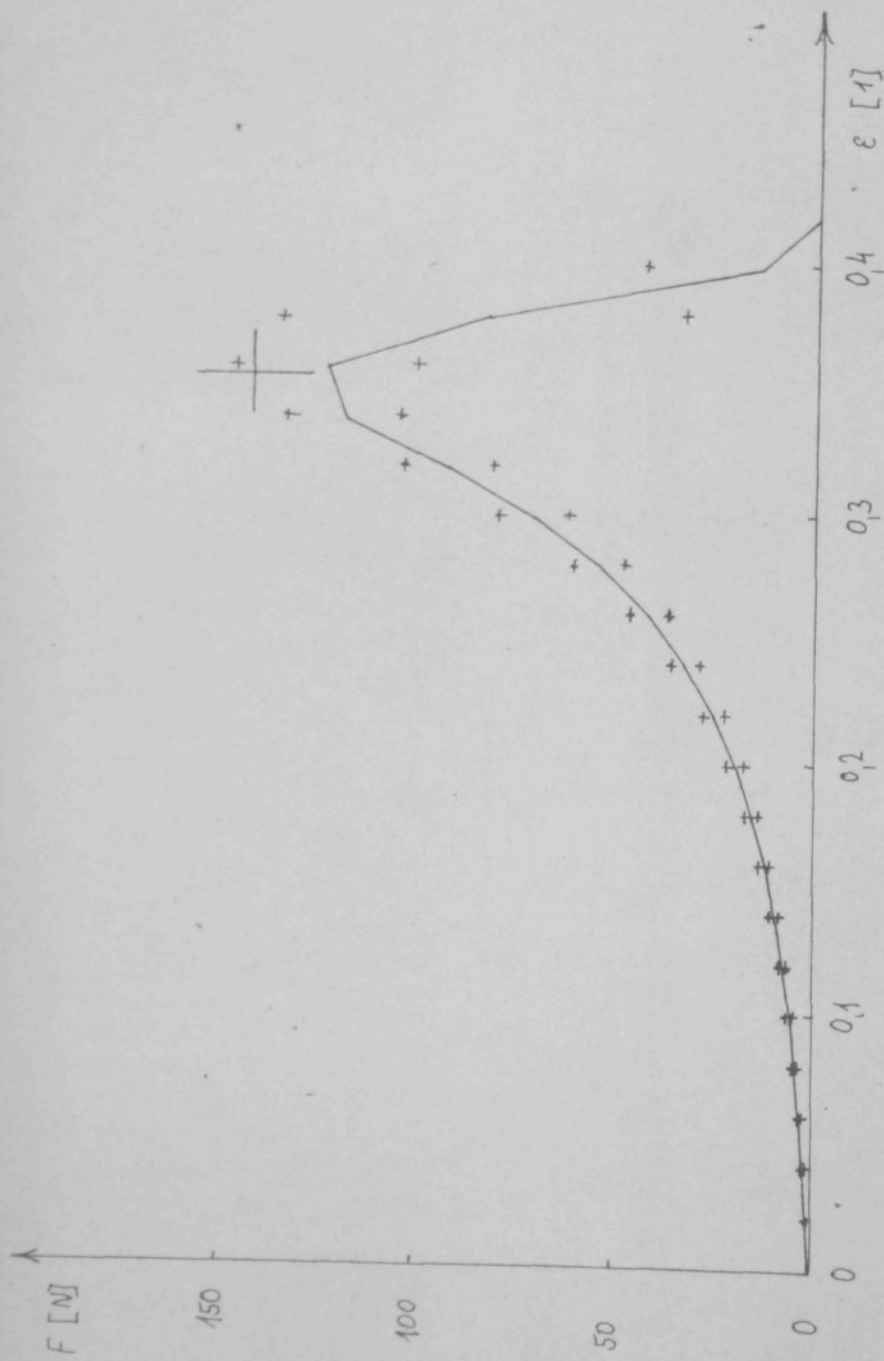
Obra. č. 8 Průměrná tahová křivka vzorku tkaniny GIORINA ve směruč = 45°



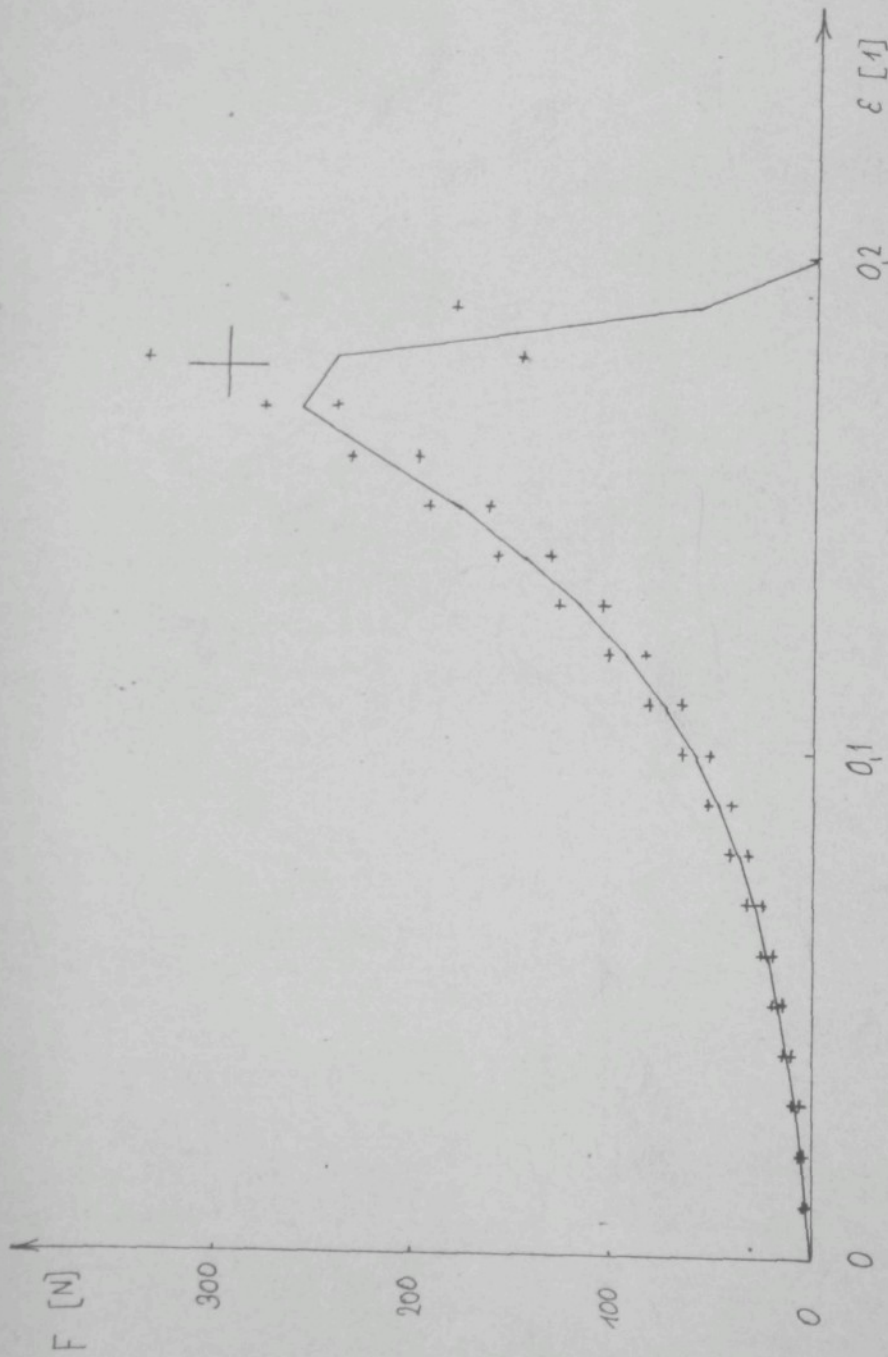
Obr. 9 Průměrná tahová křivka vzorku tkaniny GLORIA ve směru $\alpha = 90^\circ$



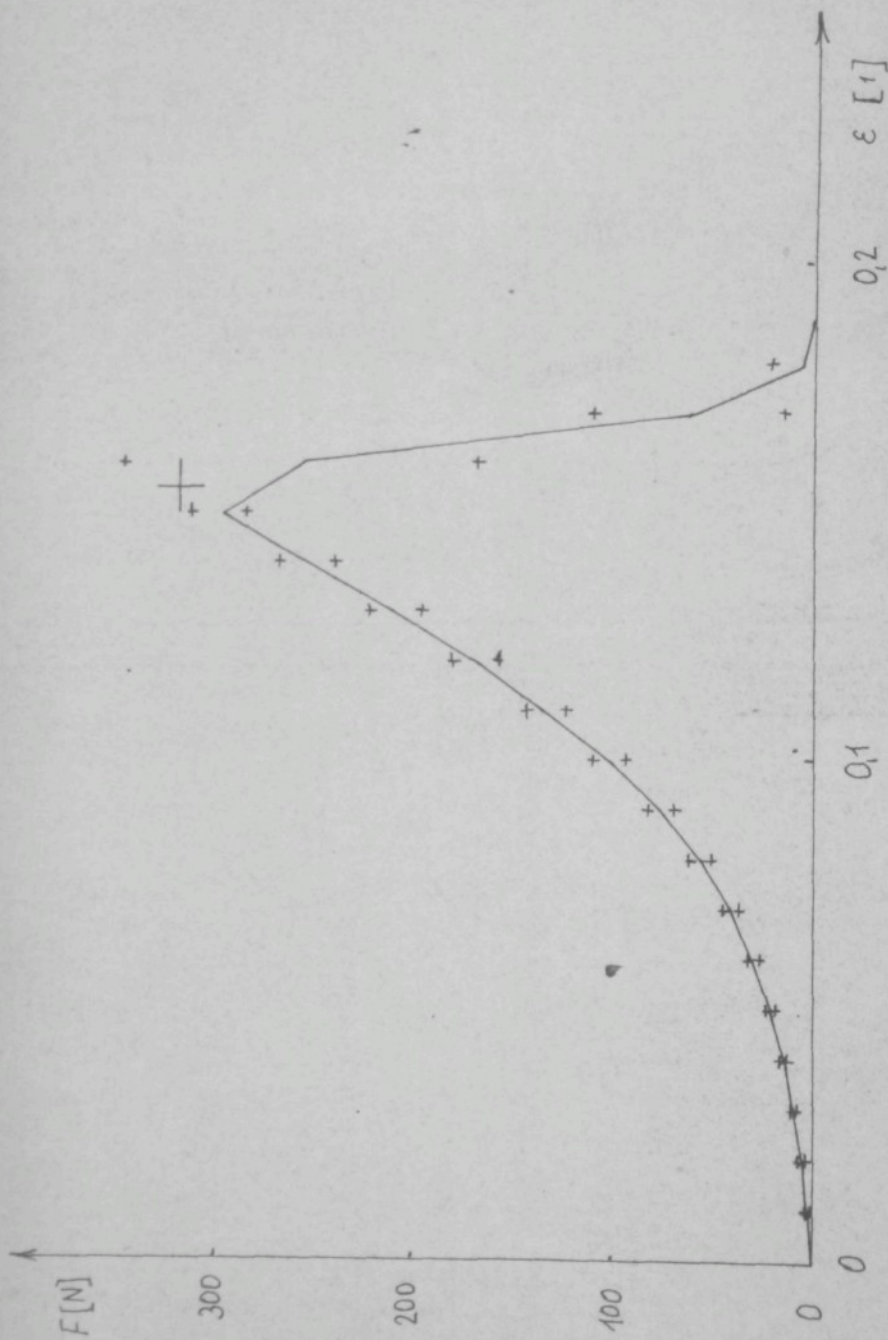
Obr. č. 10 Průměrná tahová křivka vzorku tkaniny GLORY ve směru $\phi = 0^\circ$



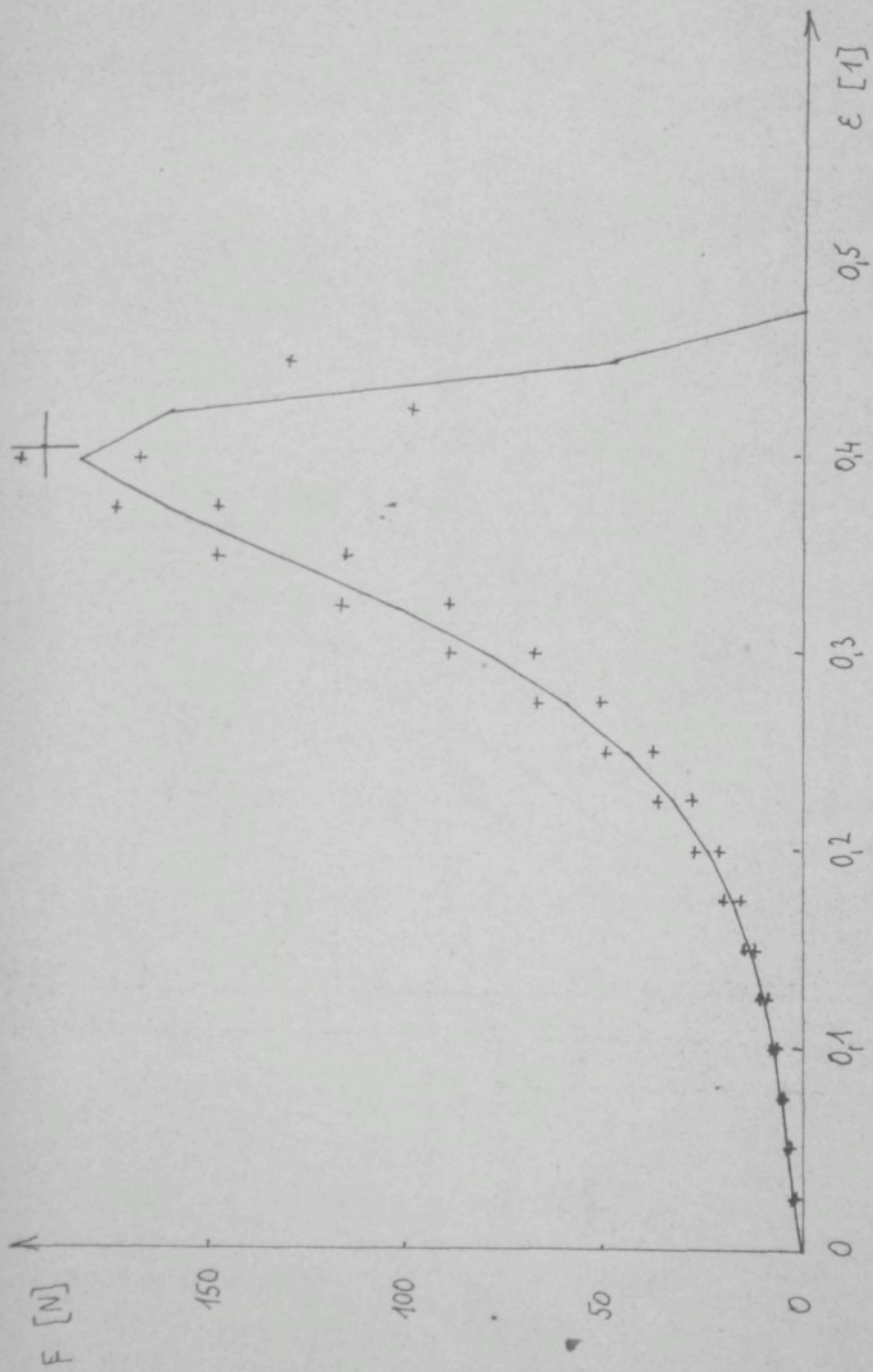
Obr. č. 11 Průměrná tahová křivka vzorku tkaniny GLORY ve směru $\alpha = 45^\circ$



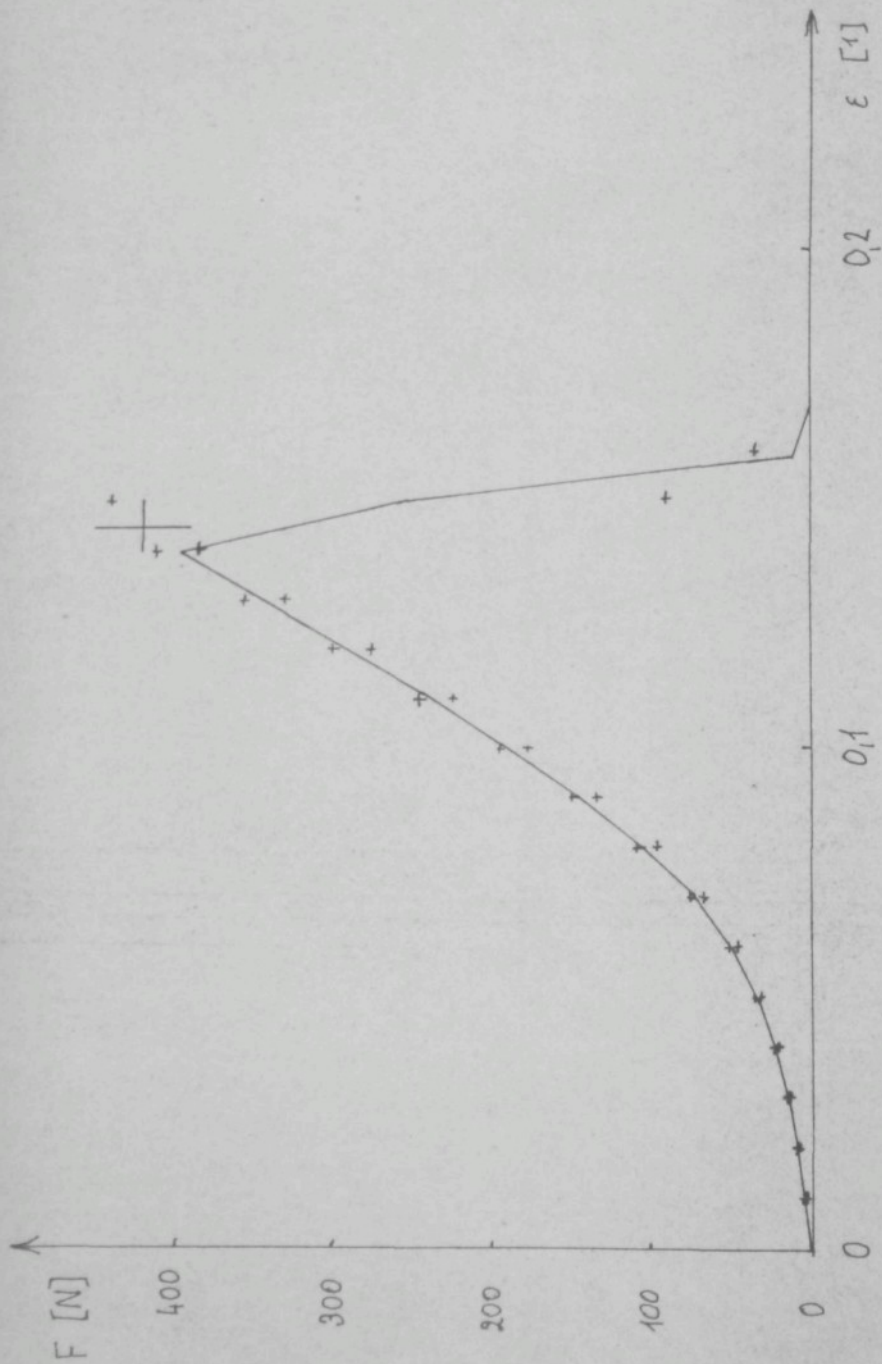
Obr. č. 12 Průměrná tahová křivka vzorku tkaniny GLORY ve směru $\kappa = 20^\circ$



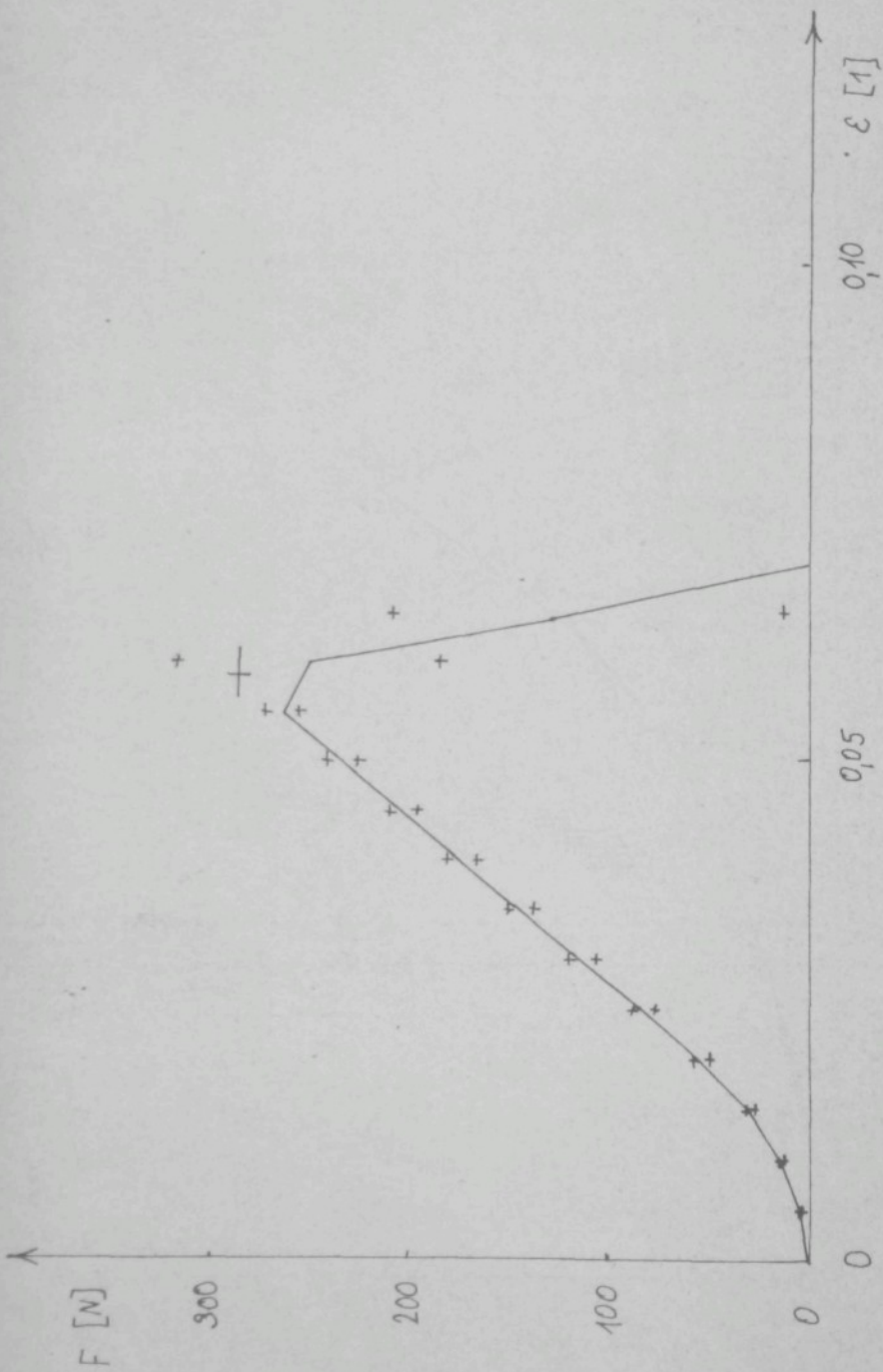
Obr. č. 13 Průměrná tahová křivka vzorku tkaniny MADAFOLAN ve svislé $\alpha = 0^\circ$



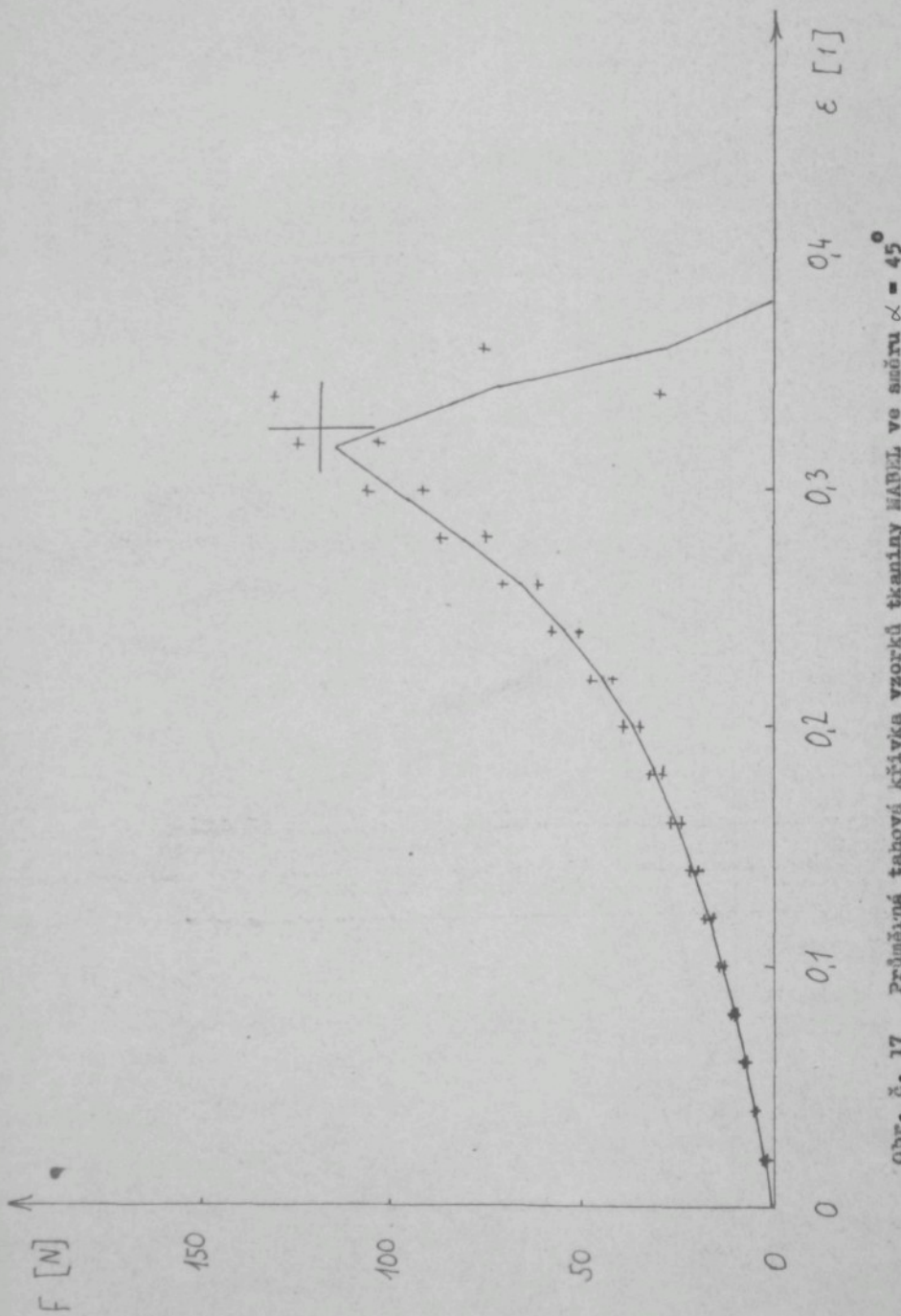
Obr. č. 14 Průměrná tahová křivka vzorku tkaniny madařované ve směru $\alpha = 45^\circ$



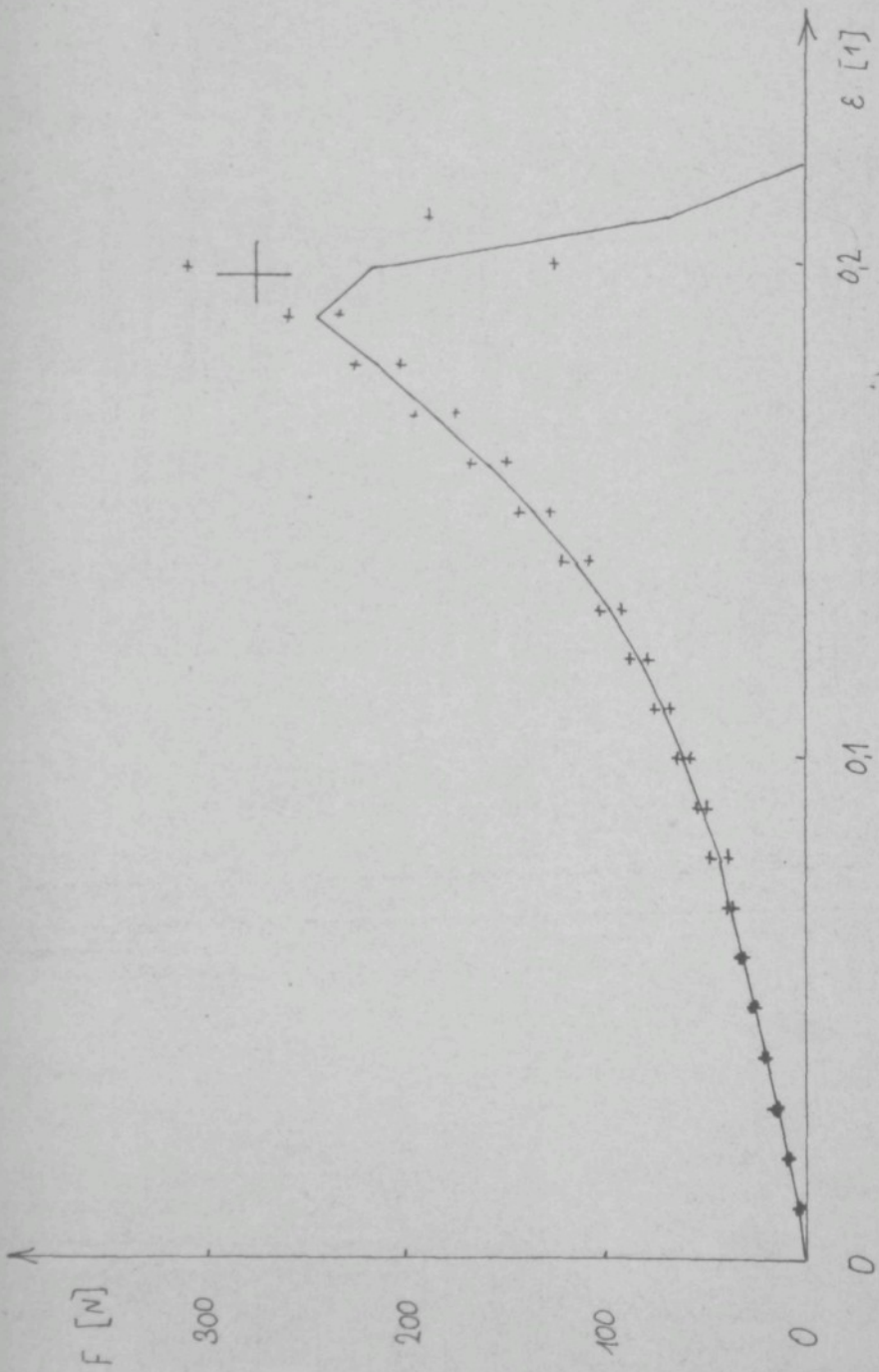
Obr. č. 15 Průměrná tahová křivka vzorku tkaniny MADAPOLAM ve směru $\alpha = 90^\circ$



Obr. č. 16 Průkazná tahová křivka vzorku tkaniny MABEL ve směru $\alpha = 0^\circ$

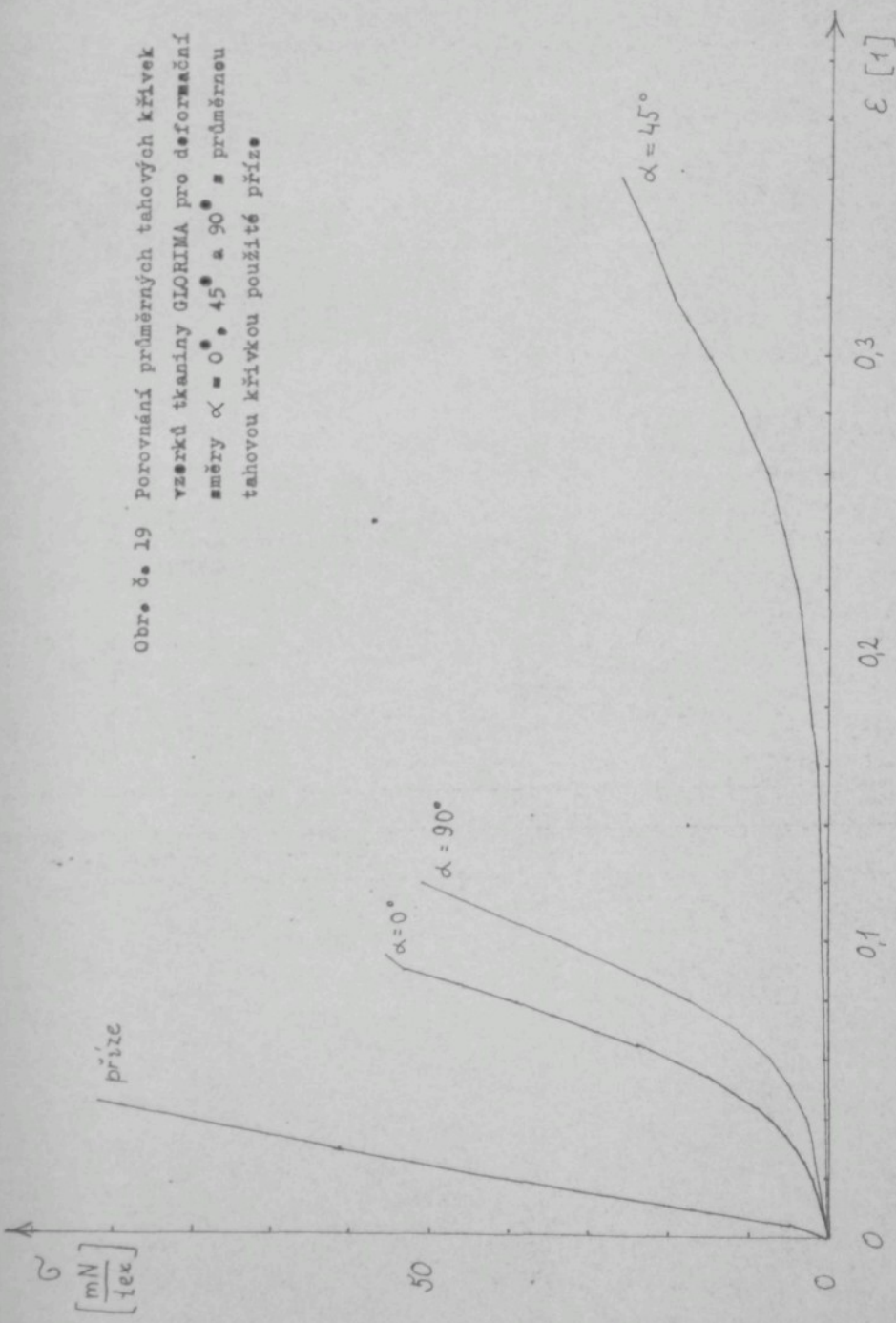


Obr. č. 17 Průkřísná tahová křivka vzorku tkaniny MARJL ve směru $\alpha = 45^\circ$

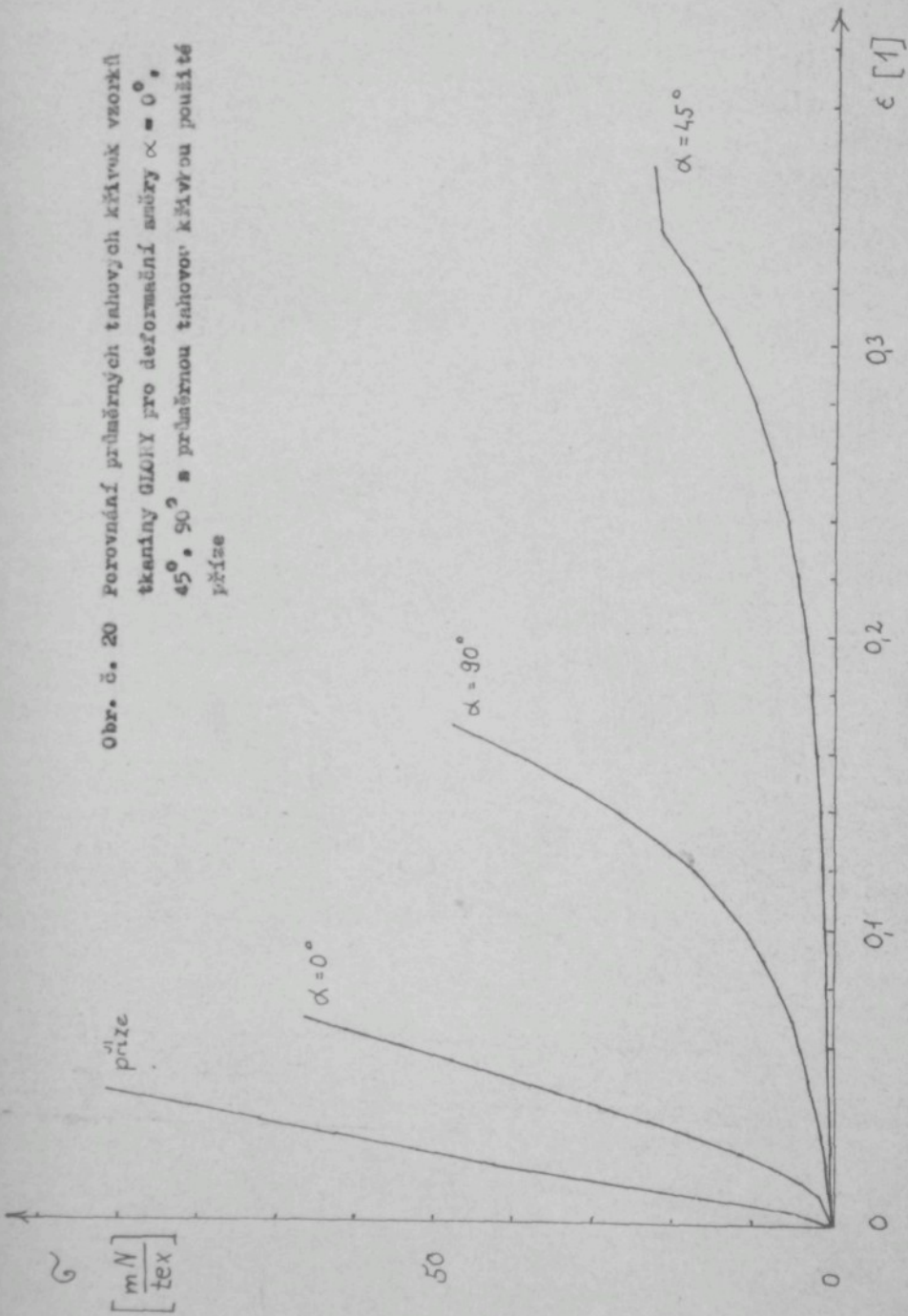


Obr. č. 18 Průkazná tahová křivka vzorku tkaniny MABEL ve směru $\alpha = 90^\circ$

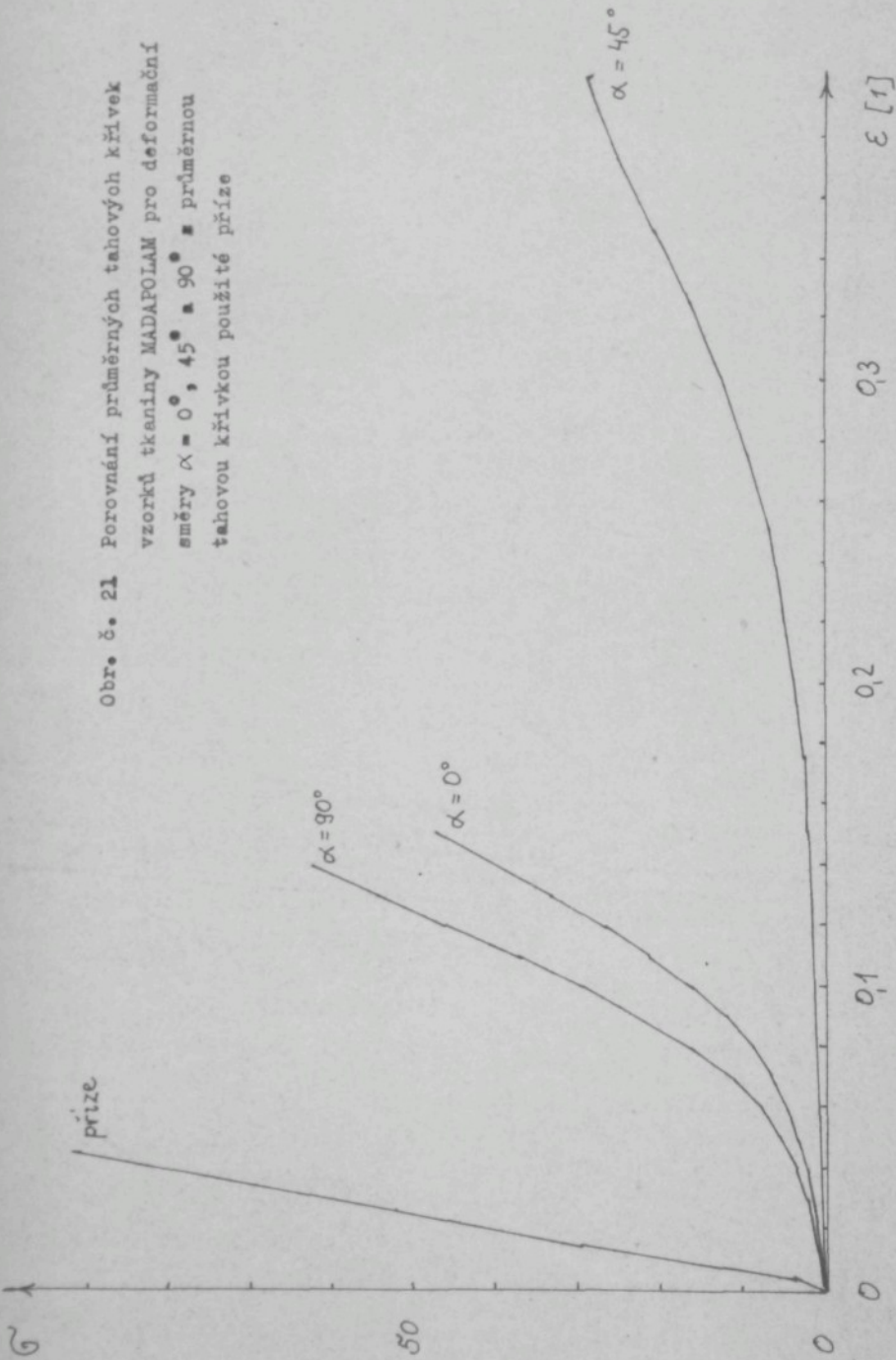
Obr. č. 19 Porovnání průměrných tahových křivek
vezorku tkaniny GLORIA pro deformační
směry $\alpha = 0^\circ$, 45° a 90° ■ průměrnou
tahovou křivkou použité příze.



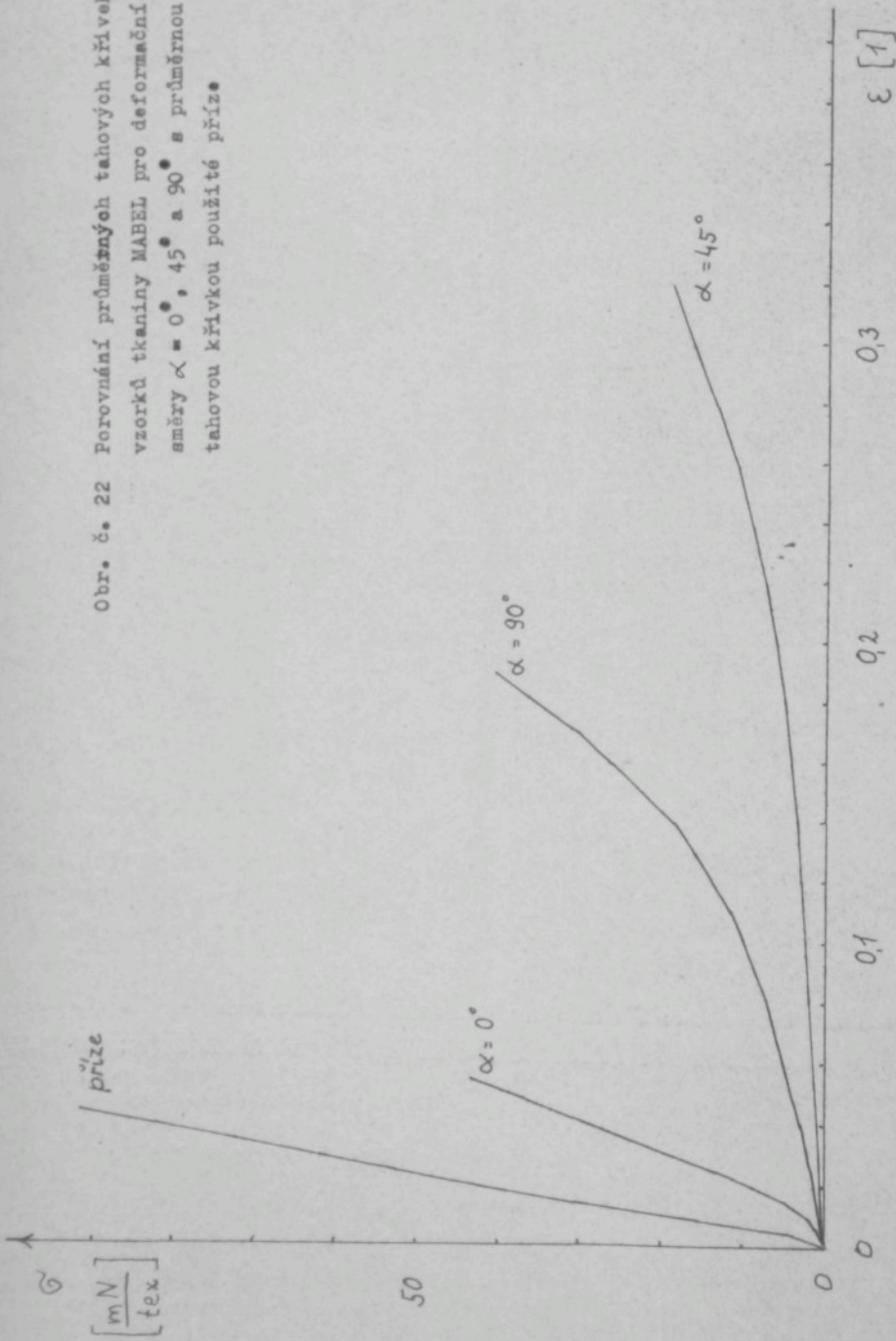
Obr. č. 20 Porovnání průlněrých tahových křivk vzniklých tkaniny GLOX pro deformaci směry $\alpha = 0^\circ$, 45° , 90° a průlněrou tahovou použitě příze

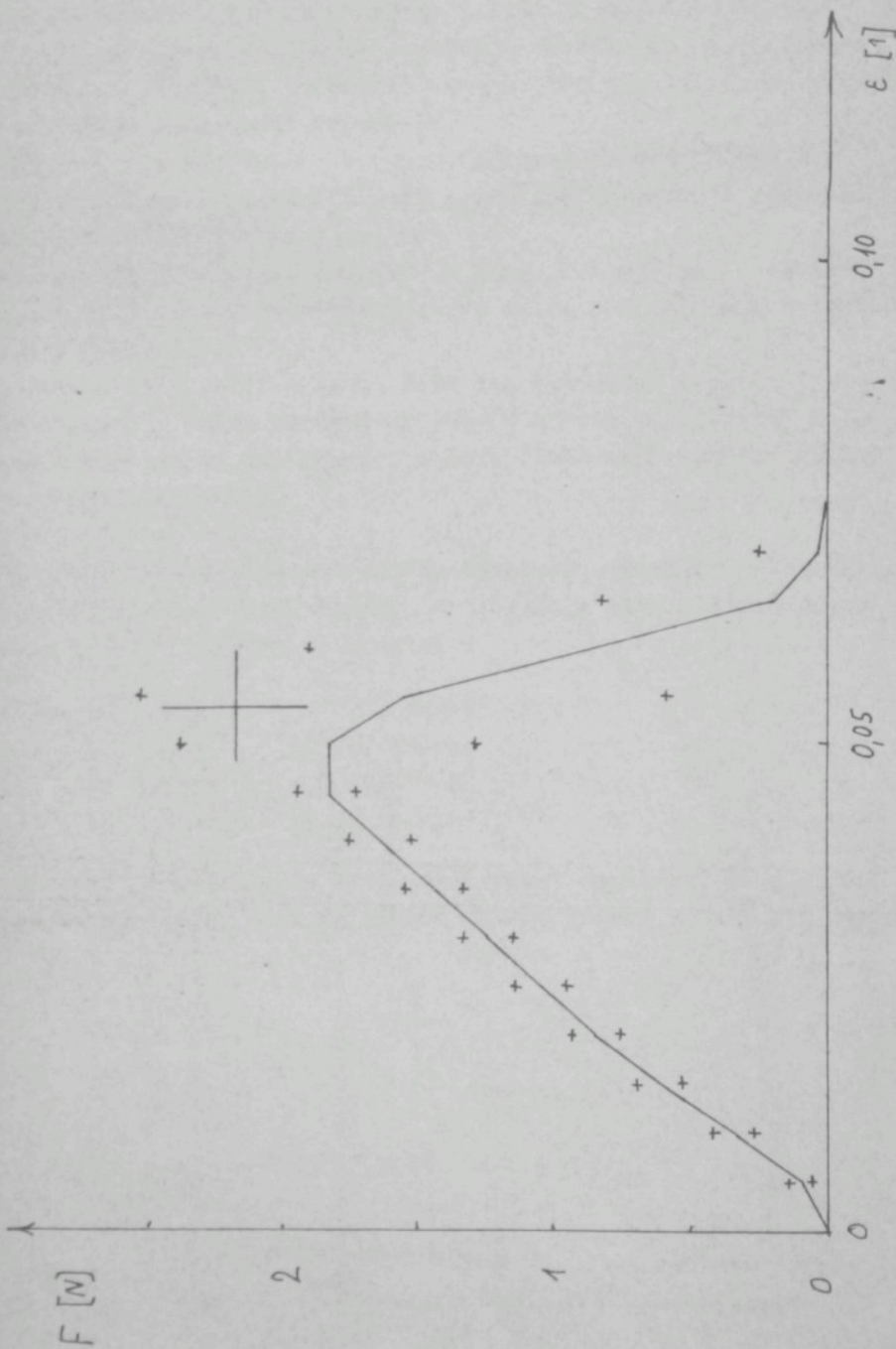


Obr. č. 21 Porovnání průměrných tahových křivek vzorků tkaniny MADAPOLAM pro deformační směry $\alpha = 0^\circ$, 45° , 90° ■ průměrnou tahovou křivkou použité příze



Obr. č. 22 Porovnání průměrných tahových křivek vzorků tkaniny MABEL pro deformační směry $\alpha = 0^\circ, 45^\circ \text{ a } 90^\circ$ s průměrnou tahovou křivkou použité příz.





Obr. č. 23 Průměrná tahová křivka přízí zkoumaných tkanin

Všechny tahové deformační křivky tkanin je možné rozdělit do tří oblastí, jak je vidět na schematickém obrázku č. 24. Oblast I znázorňuje počáteční deformaci vzorku, kdy napětí stoupá přibližně lineárně s rostoucí deformací.

V oblasti II. dochází ke vzrůstu derivace tahové křivky a v oblasti III. stoupá napětí opět přibližně lineárně s rostoucím poměrným prodloužením.

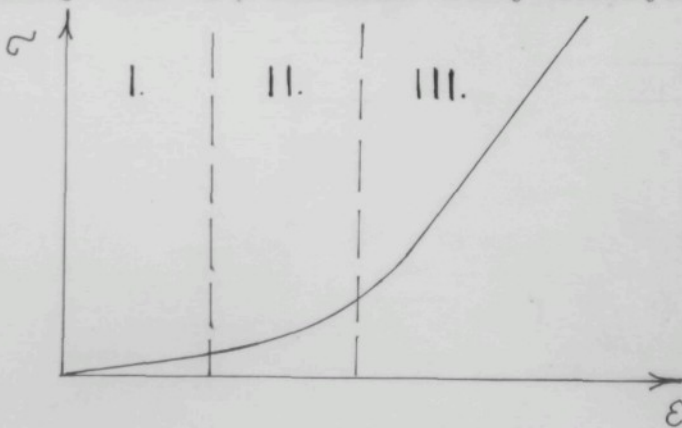
Vzorky, které byly deformovány ve směru $\alpha = 45^\circ$ mají největší oblast I. U vzorků deformovaných ve směru $\alpha = 45^\circ$ mají největší oblast číslo III.

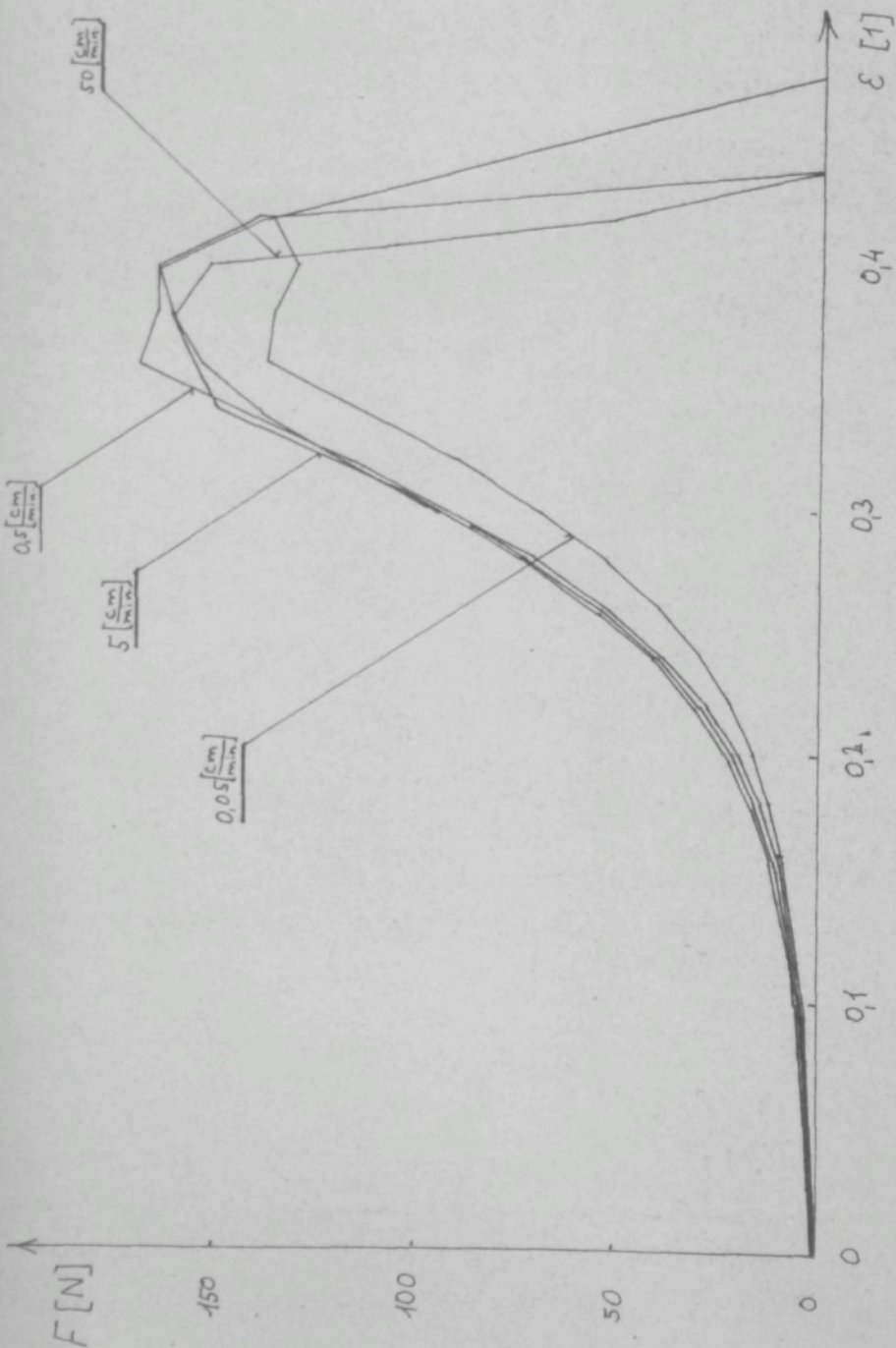
Na tahové deformační křivce přízí lze pozorovat prakticky jen dvě oblasti : velmi krátkou náběhovou oblast v počáteční deformaci a hned po ní následující oblast lineárního vzrůstu napětí s rostoucí deformací.

Vliv deformace na tahovou křivku zkoumaný s tkaninou MADAPOLAM je vidět z obr. č. 25. Vzorky této tkaniny byly deformovány ve směru $\alpha = 45^\circ$ různými rychlosťmi :

$$\begin{array}{ll} 8,33 \cdot 10^{-6} \text{ m/s} & / 0,05 \text{ cm/min} / \\ 8,33 \cdot 10^{-5} \text{ m/s} & / 0,5 \text{ cm/min} / \\ 8,33 \cdot 10^{-4} \text{ m/s} & / 5 \text{ cm/min} / \\ 8,33 \cdot 10^{-3} \text{ m/s} & / 50 \text{ cm/min} / \end{array}$$

Z obrázku je patrné, že změna deformační rychlosti až o 3 řady nemá podstatnější vliv na průběh tahové křivky zkoušených tkanin.





Obr. č. 25 Porovnání tahových křivek vzorků tkaniny MADAPOLAM, deformovaných ve směru $\alpha = 45^\circ$ deformačními rychlosťmi 0.05 cm/min , 0.5 cm/min , 5 cm/min a 50 cm/min .

Obr. č. 25

2.5 Diskuse

2.5.1 Přesnost experimentální metody

Přesnost experimentálních průměrných tahových křivek vypracovaných v této práci je poměrně vysoká. Jejich relativní chyba není větší než 5 %. Tato poznaná skutečnost je v souvislosti jednak s velkou přesností v dodržení stanovených rozměrů pokusných vzorků / ve směrech $\alpha = 0^\circ$ a $\alpha = 90^\circ$ byly vzorky připraveny odpéráním krajkových přízí až do dosažení stanovených rozměrů /, jednak s tím, že od každého druhu tkaniny bylo deformováno ve všech experimentovaných směrech celkem po 10 vzorcích, z jejichž tahových deformačních křivek byla zjištována vždy průměrná tahová křivka. Ve směru $\alpha = 45^\circ$ je možnost rozměrových chyb větší, což souvisí s nepřesností ve stříhání a také s tím, že zkoumaný směr $\alpha = 45^\circ$ nemusel být z důvodu nekolmých soustav nití ve tkanině.

Při experimentování s tkaninami i režnými přízemi bylo nutné dodržovat u všech zkoušených vzorků stejnou deformační rychlosť na jednotku upínací délky vzorku. Protože vzorky tkaniny MADAPOLAM měly poloviční upínací délku, byla by správná deformační rychlosť vzorků $4,17 \cdot 10^{-4}$ m/s / tj. 2,5 cm/min /.

Protože však nebylo možné tuto deformační rychlosť na univerzálním trhacím stroji Instron nastavit, bylo nutné použít převodu pro rychlosť $5,00 \cdot 10^{-4}$ m/s / tj. 3 cm/min /. Přes tento odchylku v deformační rychlosti při deformaci vzorků tkaniny MADAPOLAM nebyl zjištěn žádný praktický vliv této odchylky na její tahové deformační křivky. Případné odchylky napětí leží zcela v nepřesnosti experimentální metody, neboť jak ukázaly výsledky zkušebního experimentu, změna deformační rychlosti o tři řady vede jen k velmi malým změnám tahové deformační křivky všech použitých tkanin.

2.5.2 Výklad vlivu vnitřní geometické struktury na tahové deformační křivky tkanin

Na základě průměrné tahové křivky použité příze a vnitřní geometrické struktury tkanin lze vysvětlit chování tkanin při tahové deformaci a tím tedy i průběh tahových deformačních křivek. Výsledky je nutné z hlediska dvou odlišných druhů namáhání diskutovat odděleně, a to :

- 1/ pro deformační směr $\alpha = 0^\circ$ a $\alpha = 90^\circ$
- 2/ pro deformační směr $\alpha = 45^\circ$

Ad 1/ V tomto případě, kdy jednoosé tahové deformace jsou provedeny ve směru osnovy / tj. $\alpha = 0^\circ$ / a ve směru útku / tj. $\alpha = 90^\circ$ / je tahově namáhána pouze jedna soustava přízí ve tkanině / osnova pro $\alpha = 0^\circ$ a útek pro směr $\alpha = 90^\circ$. Druhá soustava je kolmá ke směru tahové deformace, proto nemůže přenášet tahovou sílu. Vliv soustavy kolmo ke směru namáhání ve struktuře tkaniny na soustavu namáhanou tahem je tedy nepatrný, může jen slabě ovlivňovat tvar namáhaných nití, případně jejich vzájemnou vzdálenost v namáhané soustavě. Jak již bylo přesněji uvedeno tahová deformační křivka se vyznačuje třemi charakteristickými oblastmi. S ohledem na tento pozorovaný průběh tahových deformačních křivek lze jejich jednotlivé oblasti vysvětlit následujícím způsobem.

Oblast I :

Je oblastí počáteční tahové deformace tkaniny, ve které je dominantním deformačním mechanismem narovnávání přízí v tahově namáhané soustavě. Trajektorie těchto přízí přechází postupně ze zvlněného tvaru do prakticky přímkového tvaru. Současně

s tímto "narovnáváním" dochází k stále většímu zprohýbání soustavy kolmé ke směru namáhání, která se přizpůsobuje tvaru tahově namáhaných přízí první soustavy. Tento děj nevyžaduje velké energetické nároky. Tahová deformační křivka vyjadřuje tedy napětí potřebné k tomu, aby se tahově namáhaná soustava přízí narovnala a druhá nezatížená soustava přízí naopak zvlnila. Určitou roli zde může hrát zplošťování přízí a třetí efekty mezi přízemi v místě jejich kontaktů. Protože tento ohyb přízí není energeticky náročný, dosahují příslušná napětí relativně nízkých hodnot.

Oblast III :

V této oblasti tahové deformační křivky jsou již příze v tahově namáhané soustavě narovnány. Projevuje se zde tedy jediný možný deformační mechanismus, a to je protahování tahově namáhaných přízí. Tahová destrukce tkaniny v této oblasti již přestává být ovlivňována její vnitřní strukturou, ale ovlivňuje ji pouze tahově deformační vlastnosti přízí.

Oblast II :

Tuto střední oblast tahové deformační křivky tkaniny můžeme nazvat přechodovou oblastí. V této části deformace tkaniny dochází k současnemu uplatnění mechanismů, které se projevovaly v oblastech I. a III. Jejich projevem je tedy narovnávání a protahování přízí v tahově namáhané soustavě.

Správnost tohoto výkladu deformace tkaniny lze ověřit a potvrdit na obrázcích č. 26 - 29, které obsahují tahové křivky vzorků tkanin pro deformační směry $\alpha = 0^\circ$ a $\alpha = 90^\circ$, přičemž napětí je zde vztázeno pouze na příslušnou namáhanou soustavu přízí / křížky vyznačené v grafech značí průměrné pevnosti a tažnosti vzorků /. Směrnice oblasti III těchto tahových deformačních křivek jsou velmi blízké směrnici tahové deformační křivky příze. Extrapolujeme-li přímkové části tahových deformačních křivek

v oblasti III. k rubovému napětí u tkanin GLORIMA A MADAPOLAM obdržíme tyto hodnoty poměrné deformace :

GLORIMA

$$\varepsilon_{\alpha=0^\circ}^{\text{extrapol.}} \doteq 0,047 \doteq 4,7 \%$$

$$\varepsilon_{\alpha=90^\circ}^{\text{extrapol.}} \doteq 0,061 = 6,1 \%$$

MADAPOLAM

$$\varepsilon_{\alpha=0^\circ}^{\text{extrapol.}} \doteq 0,081 = 8,1 \%$$

$$\varepsilon_{\alpha=90^\circ}^{\text{extrapol.}} \doteq 0,067 = 6,7 \%$$

Tyto hodnoty poměrné deformace poměrně dobře korespondují s hodnotami setkání těchto tkanin / viz tabulka 1 /.

GLORIMA

MADAPOLAM

setkání osnovy : 5,2 %

setkání osnovy : 6,6 %

setkání útku : 6,0 %

setkání útku : 6,7 %

ad 2/ V případě jednoosé tahové deformace ve směru $\alpha = 45^\circ$ jde o tahové namáhání obou soustav přízí ve tkanině. Jednotlivé oblasti těchto tahových křivek / obr. 24 / lze vysvětlit tímto způsobem.

Oblast I :

V této oblasti tahové deformace tkaniny nejprve dochází ke změně úhlu mezi oběma soustavami přízí / osnovy a útku /, namáhání soustavy se orientuje více do směru tahové síly. Při tomto mechanickém ději se uplatňuje jenom třecí efekty mezi přízemí, které jsou energeticky jen minimálně náročné.

Současně k této změně orientace přízí přistupuje narovnávání přízí z původně vzlněného tvaru. Oba zmíněné mechanismy, které současně ovlivňují deformaci, způsobují, že počáteční oblast

tahové deformační křivky je velmi dlouhá v porovnání s tahovými deformačními křivkami ve směrech $\alpha = 0^\circ$ a $\alpha = 90^\circ$.

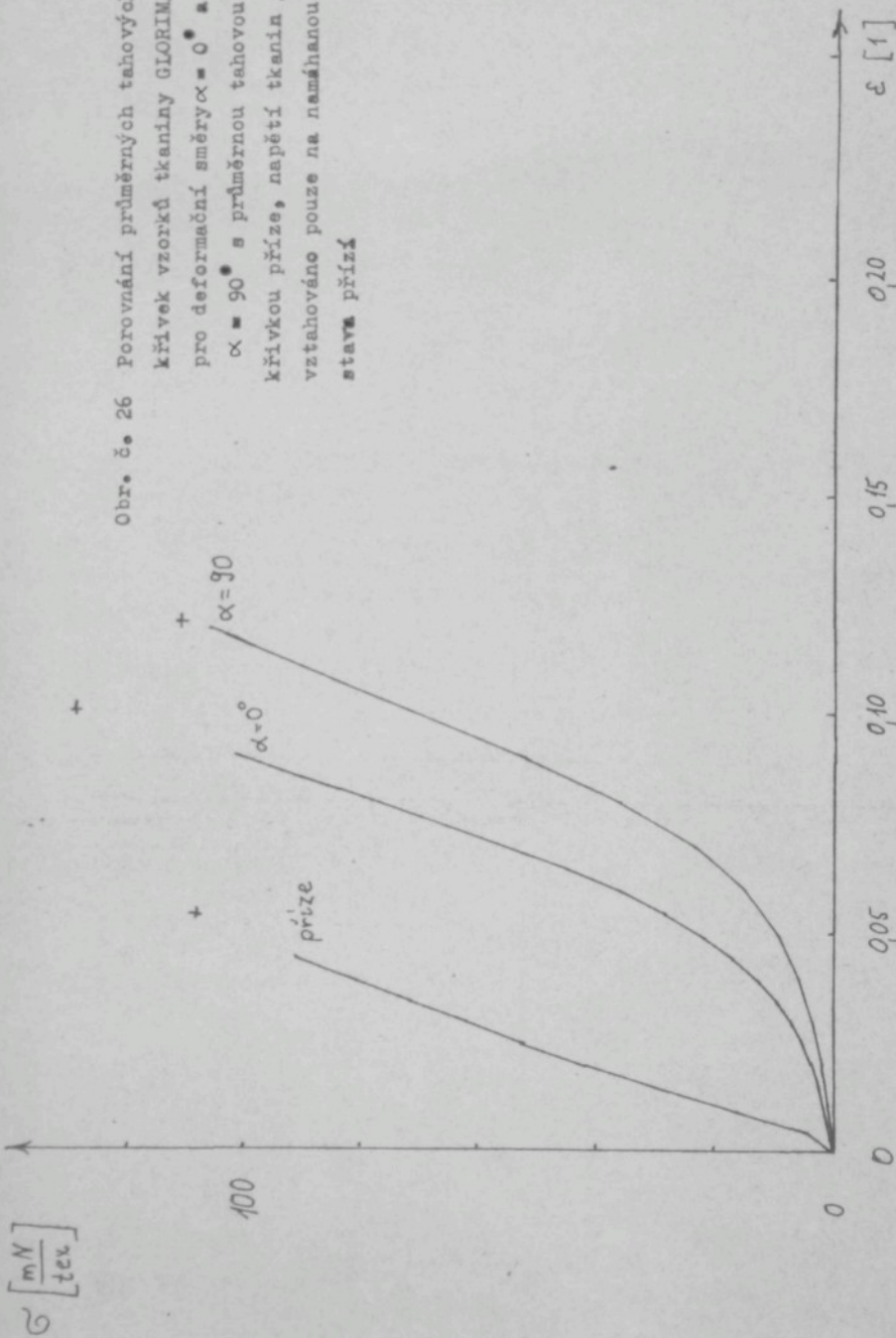
Oblast II :

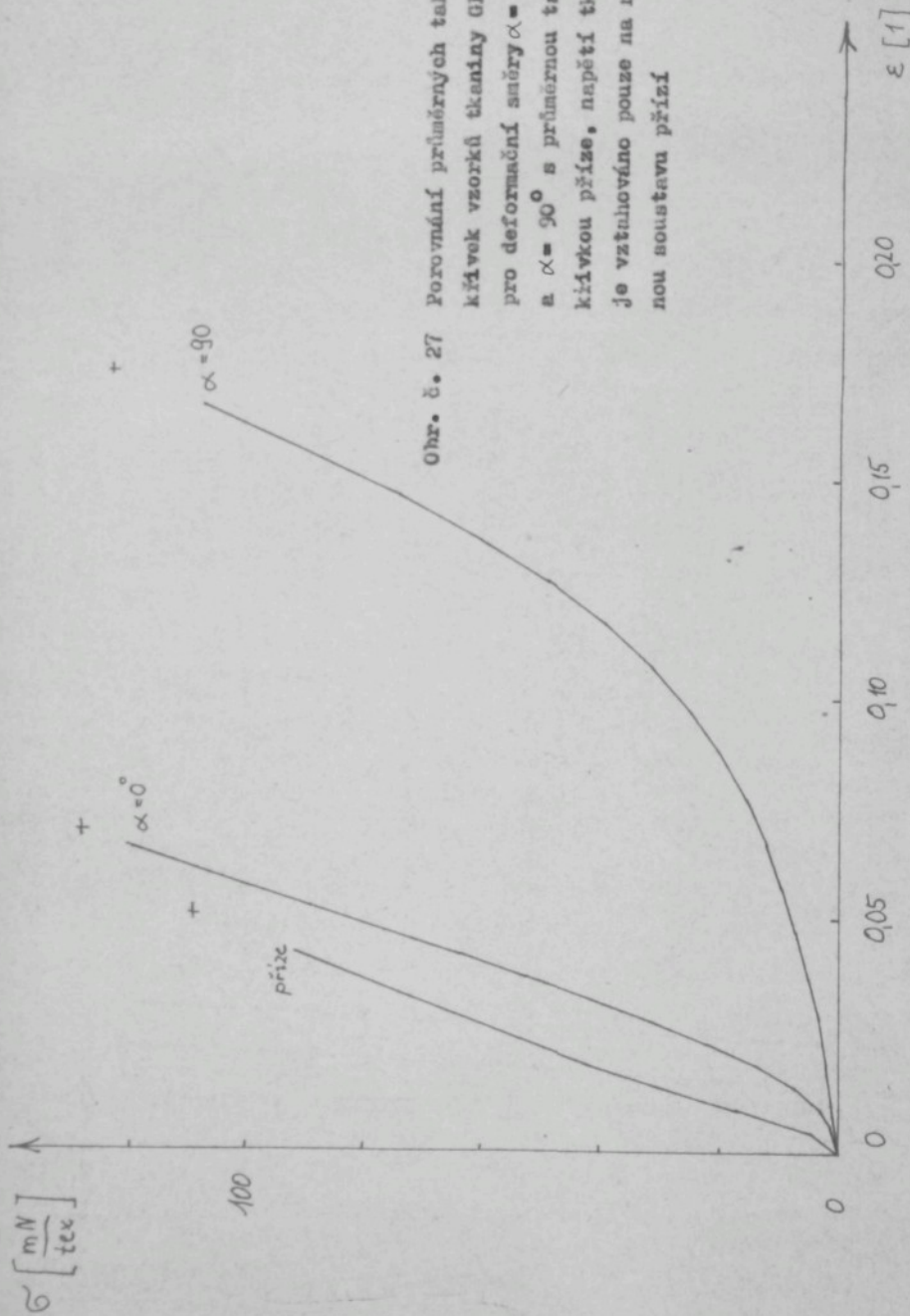
V této oblasti se uplatňuje nejen změna orientace přízí do směru tahové síly a narovnávání přízí, ale i protahování přízí v obou soustavách.

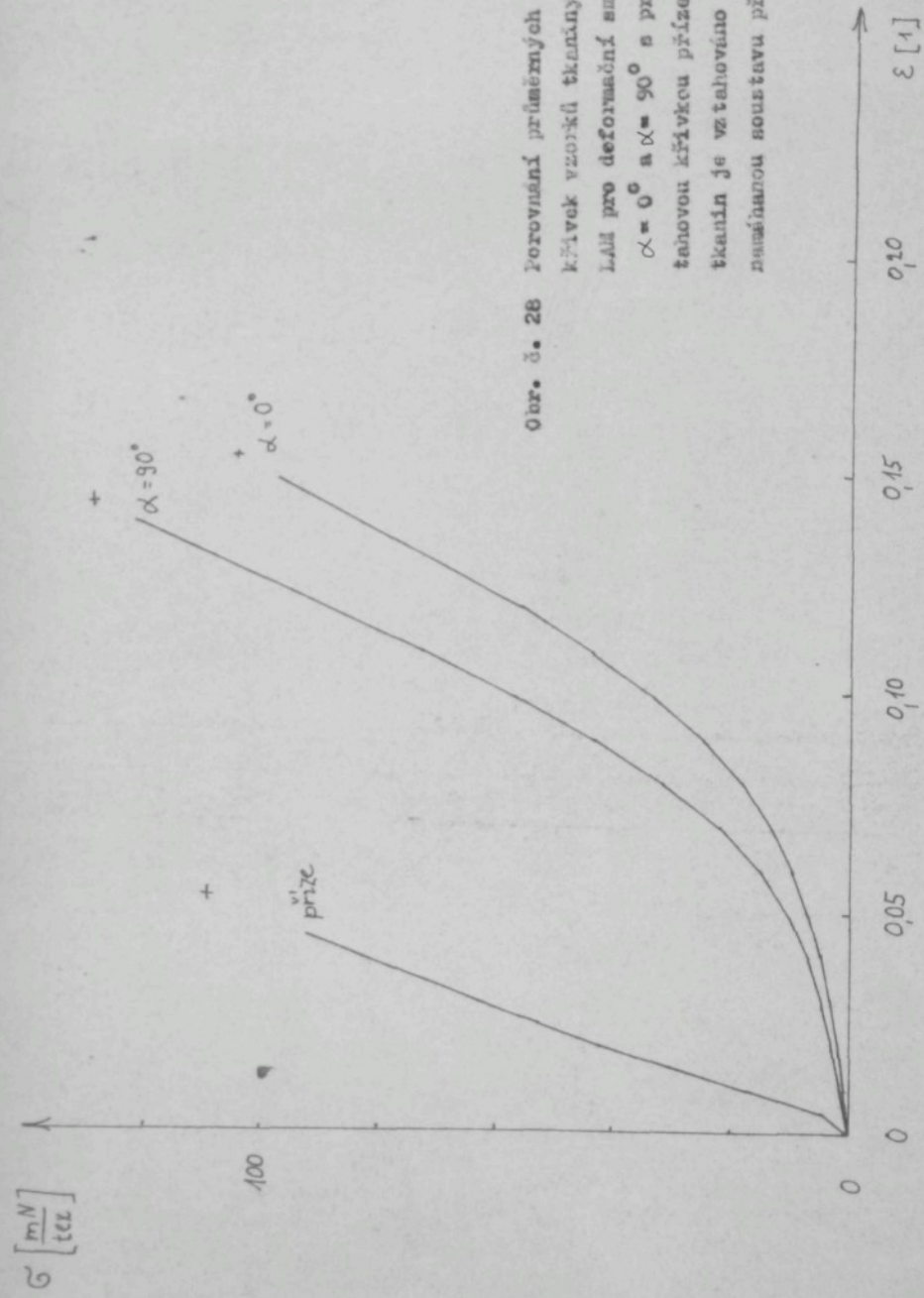
Oblast III :

V této poslední oblasti tahové deformace nastává protahování přízí v obou soustavách.

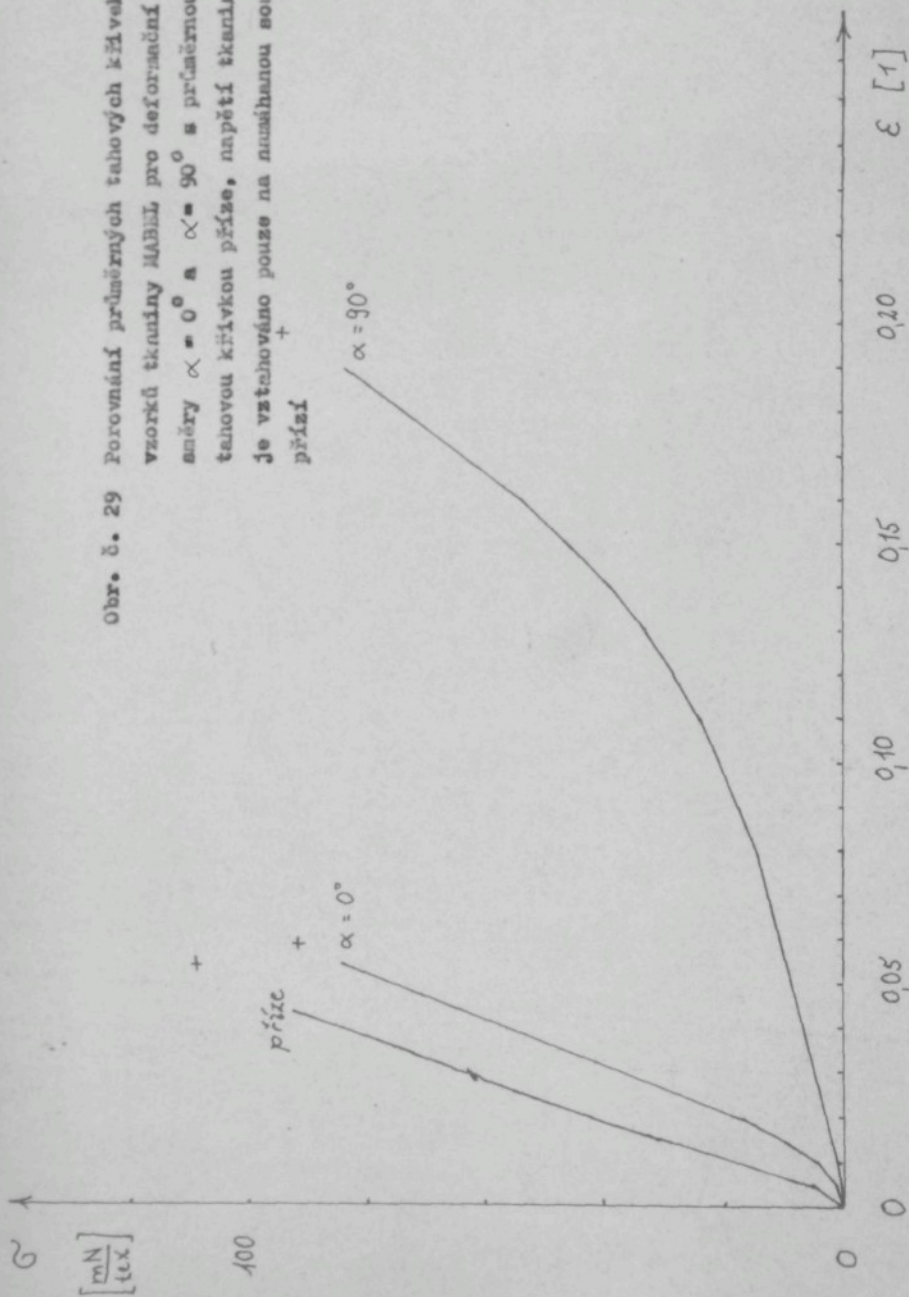
Obr. č. 26 Porovnání průměrných tafových křivek vzorků tkaniny GLORIMA pro deformaci směry $\alpha = 0^\circ$ a $\alpha = 90^\circ$ s průměrnou tafovou křivkou příze, napětí tkanin je vztahováno pouze na namáhanou soustavu příze.







Obr. ř. 29 Porovnání průměrných tahoých křivek
vzorků tkaniny MARIL pro deformacní
snery $\alpha = 0^\circ$ a $\alpha = 90^\circ$ s příčníou
tahoou křivkou příze, napětí tkanin
je vztahováno pouze na maximálnou soušťavnou
příze



3. ZÁVĚRY

=====

Předmětem této diplomové práce byl výzkum tahově deformačních vlastností tkanin. Pro tento účel byly prozkoumány vlastnosti bavlněných tkanin, a to ve třech směrech orientovaných ve směru osnovy / $\alpha = 0^\circ$, ve směru útku / $\alpha = 90^\circ$ a ve směru úhlopříčnému / $\alpha = 45^\circ$. Hlavní pozornost byla směrována k otázce vlivu vnitřní struktury tkanin na jejich deformační charakteristiky. Z této práce vyplývají dále uvedené závěry :

1. Napětí na tahových křivkách / s výjimkou tkaniny MADAPOLAM / splňuje pro určitou danou deformaci vztah :

$$\sigma_{\alpha=45^\circ} < \sigma_{\alpha=90^\circ} < \sigma_{\alpha=0^\circ} < \sigma_{\text{příze}} \quad (8)$$

2. Konečné deformace / konečné poměrné prodloužení / splňuje / s výjimkou tkaniny MADAPOLAM / v jednotlivých deformačních směrech vztah :

$$\epsilon_{\alpha=45^\circ}^{\text{konec}} > \epsilon_{\alpha=90^\circ}^{\text{konec}} > \epsilon_{\alpha=0^\circ}^{\text{konec}} > \epsilon_{\text{příze}}^{\text{konec}} \quad (9)$$

3. Na zkoumaných tahově deformačních křivkách v souřadnicích síla - deformace / F - ϵ / i napětí - deformace / σ - ϵ / lze rozlišit celkem tři oblasti. V oblasti I roste napětí prakticky lineárně s deformací. V další části tahové křivky / oblast II / roste napětí rychleji než poměrné prodloužení a konečně v oblasti III. se opět ustálí přibližně lineární růst napětí s rostoucí deformací.
4. Pro vzorky tkanin, které byly deformovány ve směru osnovy / $\alpha = 0^\circ$ nebo ve směru útku / $\alpha = 90^\circ$ lze průběh napětí vysvětlit následujícím způsobem :
 - V oblasti I tahové deformační křivky dochází k narovnávání přízí v namáhané soustavě

- V konečné fázi deformace / oblast III / dochází k protahování již narovnaných přízí
- V oblasti II se projevuje současně působení výše uvedených mechanismů

Příze v soustavě kolmé k deformačnímu směru ovlivňuje tahovou křivku jen velmi málo.

5. Chování vzorků tkanin, které byly deformovány ve směru úhlopříčném / $\alpha = 45^\circ$ / lze také vysvětlit tahové deformační křivky mechanismy uvedenými v bodu 4., ale navíc se zde projevuje změna orientace obou soustav přízí více do směru tahové síly. Z tohoto dalšího deformačního mechanismu vyplývá vysvětlení poměrně značné délky oblastí I a II v porovnání se vzorky deformovanými ve směru osnovy a útku.

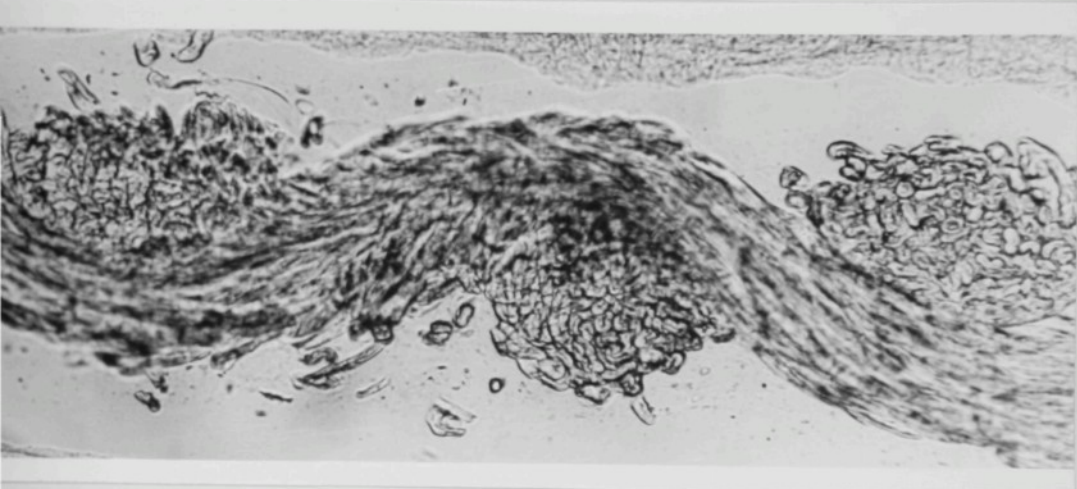
4. LITERATURA

=====

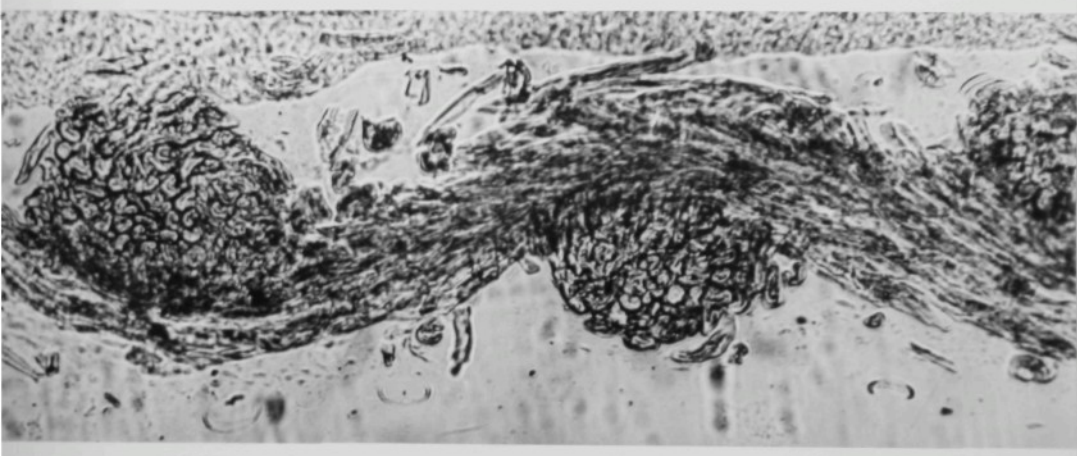
- [1] Olofsson B., A General Model of a Fabric as a Geometric - Mechanical Structure, J. Textile Inst. 55 č. 11 st 541-557 / 1964 /
- [2] Jong S., Postle R., An Energy Analysis of Woven-Fabric - Mechanics by means of Optimal-Control Theory Part I: Tensile Properties, S. Textil Inst. 68 č. 11 s 350-361 / 1977
- [3] Leaf G. A. V., Kandil K.H., The Initial Load - Extension Behaviour of Plain - Woven Fabrics J Textile Inst. 71, č. 1 s 1-7 / 1980 /
- [4] Hearle W., Shanahan W., An Energy Metod for Calculations in Fabric Mechanics Part I : Principle of the Method, J. Textile Inst. 69 č. 4 s 81-91 / 1978 /
- [5] Shanahan W., Hearle W., An Energy Method for Calculations in Fabric Mechanics. Part II : Examples of Application of the Method to Woven Fabrics, J. Textile Inst. 69, č. 4 s 92-100 / 1978 /
- [6] Ing. Z. Dušek Fotogrammetrická rekonstrukce geometrie textilních útvarů / kandidátská disertační práce / SVÚT Liberec / 1978 /
- [7] Malinowska K. Práce IW Lodz / 1978 /
- [8] Pazourek J. Pracujeme s mikroskopem Praha SNTL str. 210 / 1961 /
- [9] Smirnova I.N., Zidra N.N., Sucharev M.I., IVUZ Techn. legk. prom. č. 3 / 1973 /
- [10] Skljannikov V.P. Optimalizacija strojenija mehaničeskich svojstv tkaněj iz chemičeskich volokon Legk. ind. s 167 / 1974 /

- [11] Šukšinov J.P., Pjatnickij V.D., IVUZ Technol. text. prom.
č. 1 st 35-40 / 1976 /
- [12] ČSN 80 0812 Zkoušení pevnosti v tahu textilních proužků
- [13] Simon J. Zkoušení textilních materiálů a výrobků č. I
st 294 SNTL Praha / 1961 /
- [14] Sborník hl. dokumentů XVI. sjezdu KSČ, nakl. Svoboda
vydání I st 108 Praha / 1981 /

1 Řez tkaninou MADAPOLAM ve směru osnovy

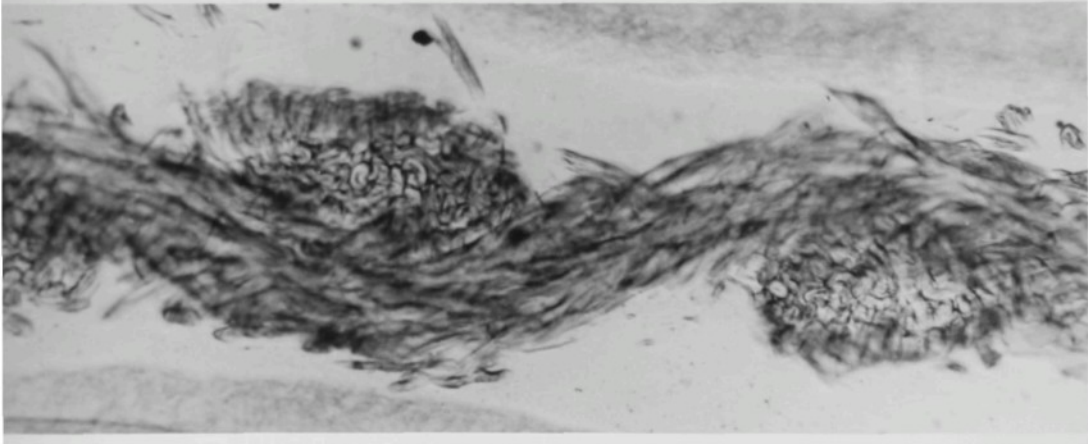


2 Řez tkaninou MADAPOLAM ve směru útku

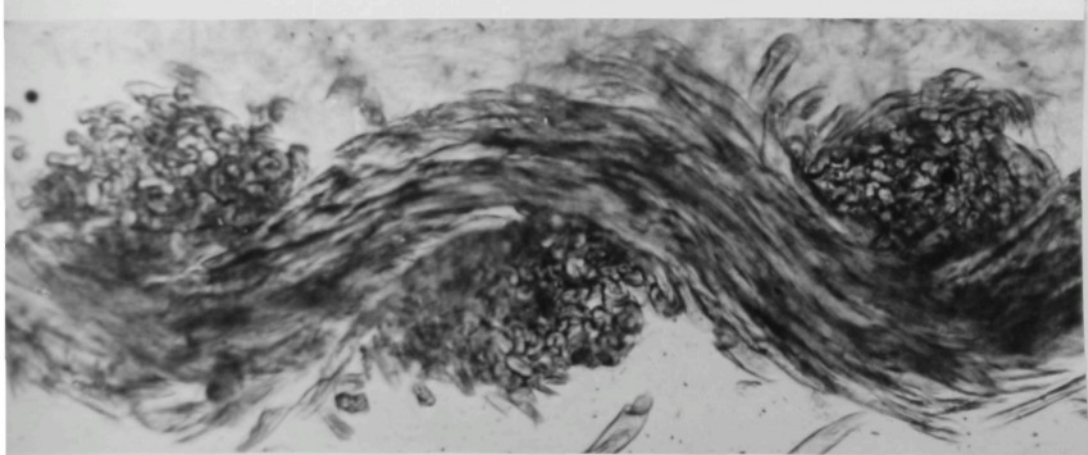


Příloha č. 3 a 4

P 3 Řez tkaninou MABEL ve směru osnovy

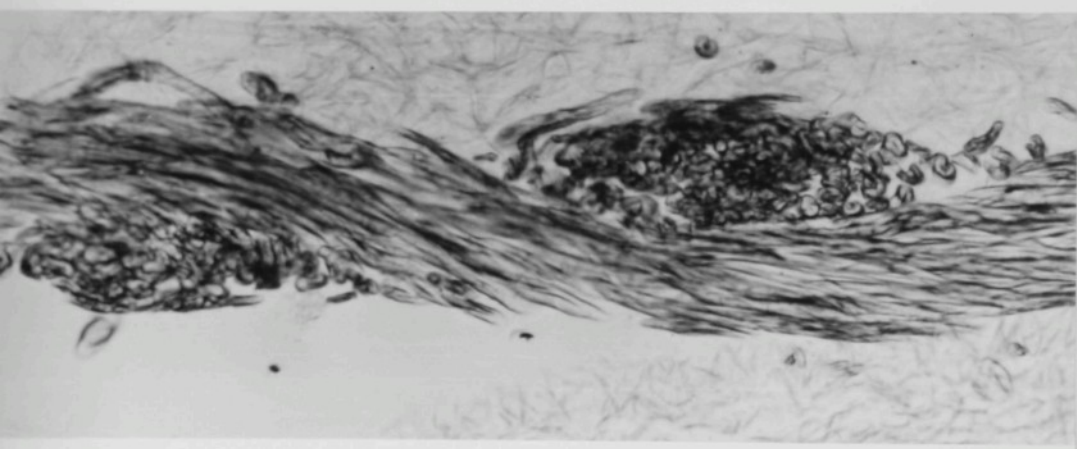


P 4 Řez tkaninou MABEL ve směru útku

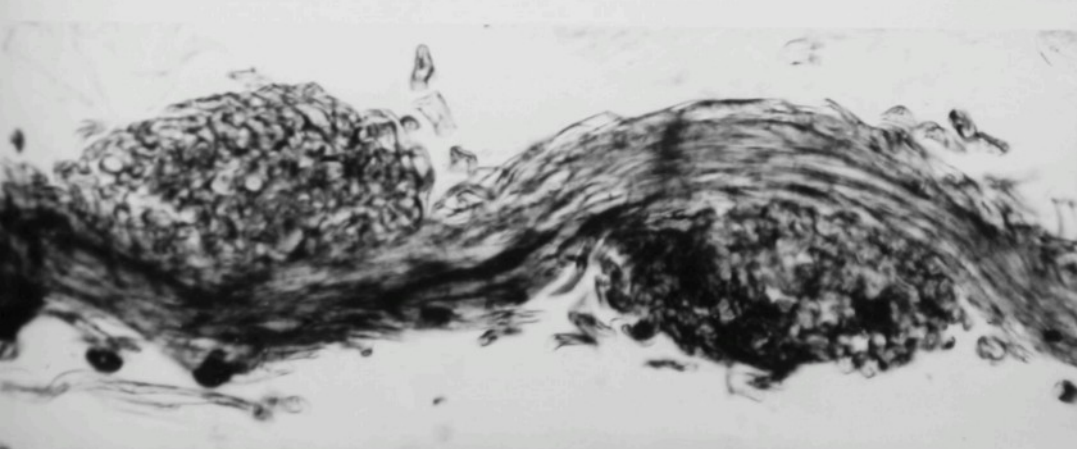


Příloha č. 5 a 6

5 Řez tkaninou GLORIMA ve směru osnovy

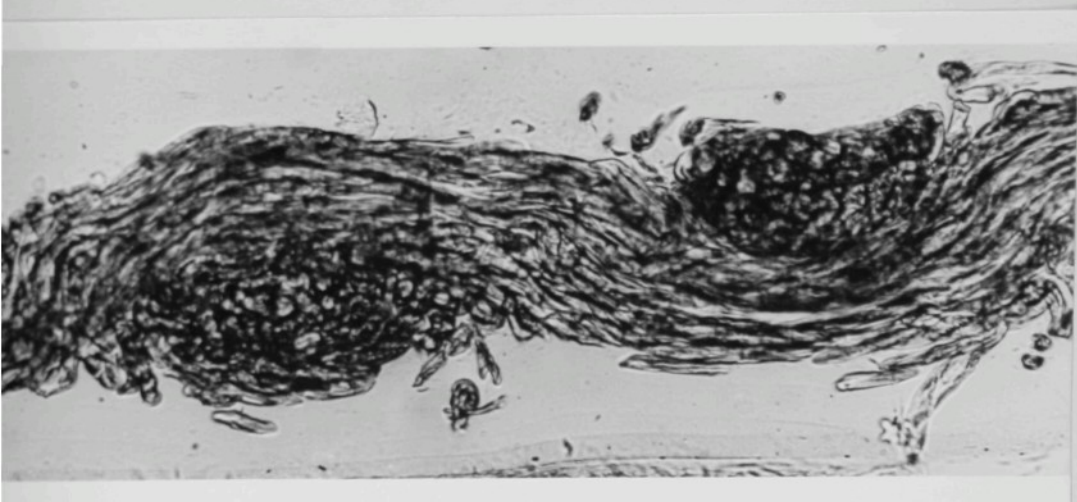


6 Řez tkaninou GLORIMA ve směru útku

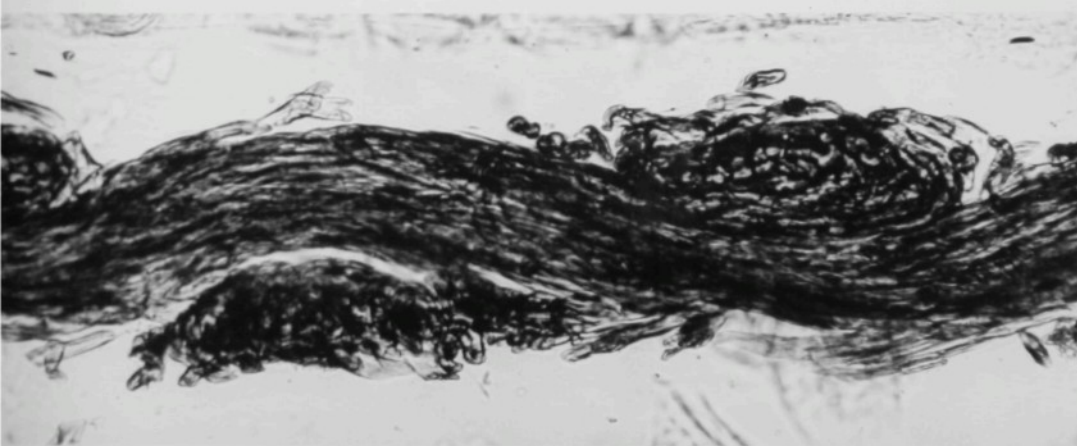


Příloha č. 7 a 8

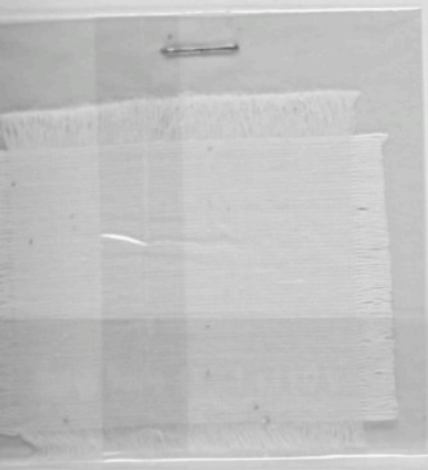
7 Řez tkaninou GLORY ve směru osnovy



8 Řez tkaninou GLORY ve směru útku



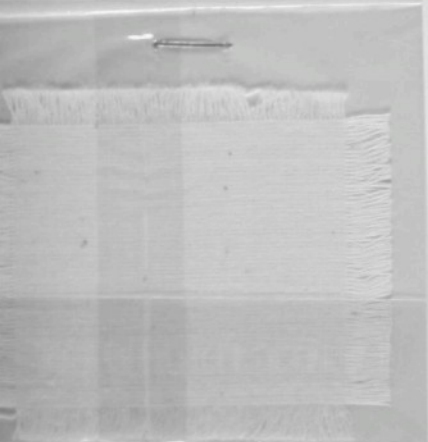
Příloha č. 9 - Vzorky tkanin :



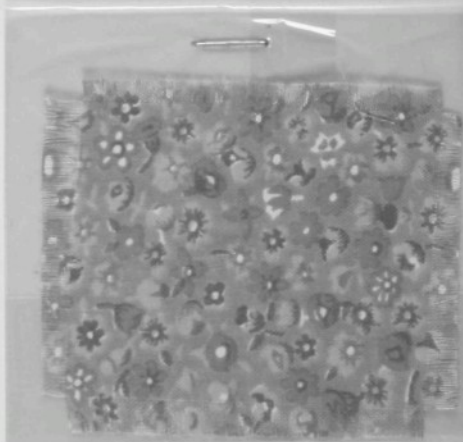
MADAPOLAM



MABEL



GLORIMA



GLORY

V 148/82 T